

Effect of bio-fertilizers and foliar application of nano-silicon on the contribution of dry matter remobilization and current photosynthesis in grain yield of wheat under irrigation withholding conditions

F. Ahmadi Nouraldinvand^{1*}, R. Seyed sharifi², S.A. Siadat³, R.Khalilzadeh⁴

1. Ph.D student of Crop plants physiology, university of Mohaghegh Ardabili, Iran

2. Professor, Department of Plant Production and Genetic Engineering, University of Mohaghegh Ardabili, Iran

3. Professor, Department of Plant Production and Genetic Engineering, Agricultural Sciences and Natural Resources University of Khuzestan, Iran

4. Ph.D Crop plants physiology, Department of Plant Production and Genetic Engineering, university of Urmia, Iran

Received 21 November 2022; Accepted 13 April 2022

Extended abstract

Introduction

Drought is assumed as one of the most severe abiotic stress factors limiting plant growth and crop production. Drought stress hurts plant growth and productivity which can affect biochemical and physiological responses such as changes in contribution of stem assimilates to grain, current photosynthesis, yield and yield components. Using rhizosphere microorganisms (such as beneficial bacteria and mycorrhiza) (Dimkpa et al. 2009) and application of silicon are an alternative strategy that can improve plant performance under stress environments and, consequently, enhance plant growth through different mechanisms. Thererfore, it seems that application of nano silicon and bio-fertilizers can improve wheat yield under water limitation conditions.

Materials and methods

In order to study the effect of bio-fertilizers and foliar application of nano-silicon on the contribution of dry matter remobilization and current photosynthesis in grain yield of wheat under irrigation withholding conditions, a factorial experiment was carried out with three replications at the research farm faculty of Agriculture and Natural Resources, University of Mohaghegh Ardabili during 2018-2019. The area is 38° 15' N latitude, 48° 15' E longitude, and 1350 m above mean sea level. Climatically, the area is situated in the semi-arid temperate zone with a cold winter and moderate summer. Factors were included irrigation in three levels (full irrigation as control; moderate water limitation or withholding irrigation at 50% of the heading stage; severe water limitation or withholding irrigation at 50% of the booting stage) based on codes 55 and 43 of the BBCH scale; foliar application of nano silicon (foliar application with water as control, 30 and 60 mg.l⁻¹) and bio-fertilizer (no application as control, mycorrhiza application, both application of flavobacterium and pseudomonas, both application of flavobacterium and pseudomonas with mycorrhiza). Mycorrhiza fungi (mosseae) was purchased from the Zist Fanavar Turan Corporation and soils were treated based on method of Gianinazzi et al. (2001). Psedomonas and flovobacterium were isolated from the rhizospheres of wheat by Research Institute of Soil and Water, Tehran, Iran. For inoculation, seeds were coated with gum Arabic as an adhesive and

* Corresponding author: Farnaz Ahmadi Nouraldinvand; E-Mail: Farnaz_ahmadi@rocketmail.com



© 2024, The Author(s). Published by University of Birjand. This is an open-access article distributed under the terms of the Creative Commons Attribution License (<https://creativecommons.org/licenses/by/4.0/>).

rolled into the suspension of bacteria until uniformly coated. The strains and cell densities of microorganisms used as PGPR in this experiment were 1×10^8 colony forming units (CFU). In this study, morphological traits, leaf area index, total biomass, dry matter remobilization from shoot and stem, contribution of stem assimilates to grain, contribution current photosynthesis in grain, yield and grain yield components of wheat were investigated. Analysis of variance and mean comparisons were performed using SAS version 9.1 computer software packages. The main effects and interactions were tested using the least significant difference (LSD) test at the 0.05 probability level.

Results and discussion

The results showed that both application of mycorrhiza with flavobacterium and pseudomonas under full irrigation conditions decreased the contribution of dry matter remobilization from shoot (27.33%) and stem (17.70%) in grain yield, but increased the current photosynthesis (305.10 g.m^{-2}) and Contribution Current photosynthesis in grain (72.66%). Also, maximum of grain yield (4593 kg.ha^{-1}) and harvest index (38.4%) were obtained with the application of both bio-fertilizers and foliar application of 30 mg.l^{-1} nano-silicon under normal irrigation. Maximum leaf area index, total biomass, and yield components were obtained with the combined application of bio-fertilizers and 60 mg.L^{-1} nano-silicon under full irrigation conditions.

Conclusion

Based on the results of this study, it seems that the application of bio-fertilizers and nano-silicon can be a suitable management factor to increase grain yield of wheat under water limitation.

Keywords: Biological fertilizers, Economic yield, Nanotechnology, Redistribution, Water restriction



اثر کودهای زیستی و محلول پاشی نانو سیلیکون بر فرآیند انتقال مجدد ماده خشک و عملکرد دانه گندم در شرایط قطع آبیاری

فرناز احمدی نورالدین وند^{۱*}، رئوف سید شریفی^۲، سید عطاء الله سیادت^۳، راضیه خلیلزاده^۴

۱. دانشجوی دکترا فیزیولوژی گیاهان زراعی، گروه مهندسی تولید و ژنتیک گیاهی، دانشگاه محقق اردبیلی

۲. استاد، گروه مهندسی تولید و ژنتیک گیاهی، دانشگاه محقق اردبیلی

۳. استاد، گروه مهندسی تولید و ژنتیک گیاهی، دانشگاه علوم کشاورزی و منابع طبیعی خوزستان

۴. دکترا فیزیولوژی گیاهان زراعی، گروه مهندسی تولید و ژنتیک گیاهی، دانشگاه ارومیه

مشخصات مقاله	چکیده
واژه‌های کلیدی:	به منظور بررسی اثر کودهای زیستی و نانو سیلیکون بر فرآیند انتقال مجدد ماده خشک و عملکرد دانه گندم در شرایط قطع آبیاری، آزمایشی به صورت فاکتوریل در قالب طرح پایه بلوک‌های کامل تصادفی با سه تکرار در مزروعه پژوهشی دانشکده کشاورزی و منابع طبیعی دانشگاه محقق اردبیلی در سال زراعی ۱۳۹۷-۹۸ انجراشد. عوامل آزمایشی شامل سطوح آبیاری (آبیاری کامل به عنوان سطح شاهد، قطع آبیاری در ۵۰٪ مرحله سنبله‌دهی به عنوان محدودیت ملایم و قطع آبیاری در ۵۰٪ مرحله چکمه‌ای شدن به عنوان محدودیت شدید آبی بر اساس کد ۵۵ و ۴۳ مقیاس BBCN)، محلول پاشی نانو سیلیکون (محلول پاشی با آب به عنوان شاهد، ۳۰ و ۶۰ میلی‌گرم در لیتر نانو سیلیکون) و کودهای زیستی در چهار سطح (عدم کاربرد به عنوان شاهد، کاربرد قارچ مایکوریزا (<i>Glomus mosseae</i> ، کاربرد توازنی فلاؤباکتریوم و سودوموناس، کاربرد توازنی مایکوریزا با باکتری‌ها) بودند. نتایج نشان داد که کاربرد توازنی مایکوریزا با باکتری‌ها در شرایط آبیاری کامل سهم انتقال ماده خشک (۲۷٪/۲۳٪) و سهم ذخایر ساقه (۱۷٪/۷۷٪) در عملکرد دانه را کاهش، ولی میزان فتوسنترز جاری در ۳۰٪/۱۰٪ گرم در متربیع) و سهم فتوسنترز جاری در عملکرد دانه (۷۲٪/۶۶٪) را افزایش داد. همچنین بیشترین عملکرد دانه (۴۵٪/۳۳٪) کیلوگرم در هектار و شاخص برداشت (۳۸٪/۴٪) از کاربرد توازنی کودهای زیستی و ۳۰ میلی‌گرم در لیتر نانو سیلیکون در شرایط آبیاری کامل به دست آمد. حداکثر شاخص سطح برگ، زیست‌توده کل و اجزای عملکرد با کاربرد توازنی کودهای زیستی و ۶۰ میلی‌گرم در لیتر نانو سیلیکون در شرایط آبیاری کامل به دست آمد. بر اساس نتایج این بررسی، به نظر می‌رسد محلول پاشی ۳۰ میلی‌گرم در لیتر نانو سیلیکون، کاربرد توازنی قارچ مایکوریزا و باکتری‌های محرك رشد می‌تواند به عنوان یک فاکتور مدیریتی مناسب برای افزایش عملکرد دانه گندم در شرایط محدودیت آبی باشد.
تاریخ دریافت:	۱۴۰۱/۰۱/۲۴
تاریخ پذیرش:	۱۴۰۱/۰۴/۰۴
تاریخ انتشار:	۱۴۰۲/۰۴/۰۴

مقدمه

در گندم وزن دانه از سه منبع (۱) فتوسنترز جاری بعد از گرده‌افشانی؛ (۲) انتقال کربوهیدرات‌هایی که قبل از گرده‌افشانی در بخش‌های رویشی گیاه ذخیره شده‌اند و بعد از گرده‌افشانی به دانه منتقل می‌گردند (حرکت مجدد)؛ (۳) انتقال کربوهیدرات‌هایی که بعد از گرده‌افشانی تشکیل شده‌اند (انتقال مجدد)، تأمین می‌شود. به مجموع انتقال و حرکت

کمبود آب در دسترس و نامناسب بودن کیفیت آب، امروزه یکی از مشکلات اصلی کاهش عملکرد گیاهان زراعی است (Yadav et al., 2020). محدودیت آبی، عملکرد دانه گندم را در هر مرحله رشدی به خصوص بین مرحله چکمه‌ای شدن، ظهور سنبله و رسیدگی کاهش می‌دهد (Tatar et al., 2016).

به واسطه شاخص سطح برگ بالاتر موجب می‌شوند بخش عمده‌ای از عملکرد دانه توسط فتوسنتز جاری تأمین شده و بخش کمتری به انتقال ماده خشک تخصیص یابد (Seyed Sharifi and Nazarly, 2013).

با توجه به اینکه محدودیت آبی در مراحل مختلف رشد زایشی موجب تسریع پیری و کاهش فتوسنتز جاری می‌شود. از طرفی به دلیل نقش سیلیکون و کودهای زیستی در کاهش یا تعدیل اثر ناشی از محدودیت آبی و بررسی‌های محدود انجام شده در خصوص برهمکنش این عوامل بر انتقال و توزیع مجدد ماده خشک از بخش‌های رویشی بر عملکرد دانه در شرایط تنفس خشکی موجب شد تا مطالعه حاضر با هدف بررسی تأثیر کودهای زیستی و نانوسیلیکون بر سهم فرآیند انتقال مجدد ماده خشک و فتوسنتز جاری در عملکرد دانه در شرایط خشکی مورد ارزیابی قرار گیرد.

مواد و روش‌ها

آزمایش به صورت فاکتوریل در قالب طرح پایه بلوک‌های کامل تصادفی با سه تکرار در مزرعه پژوهشی دانشکده کشاورزی و منابع طبیعی دانشگاه محقق اردبیلی با مختصات جغرافیایی ۴۸ درجه و ۲۰ دقیقه طول شرقی و ۳۸ درجه و ۱۵ دقیقه عرض شمالی و ارتفاع ۱۳۵۰ متر از سطح دریا، در سال زراعی ۱۳۹۷-۹۸ اجرا شد. نتایج شرایط اقلیمی منطقه آزمایشی در طول دوره رشدی گندم در جدول ۱ و خصوصیات فیزیکی و شیمیایی خاک مزرعه آزمایشی در جدول ۲ آورده شده است. فاکتورهای آزمایشی شامل سطوح آبیاری (آبیاری کامل به عنوان شاهد، قطع آبیاری در ۵۰٪ سنبله‌دهی (رسیدن ۵۰٪ بوته‌های یک کرت به مرحله سنبله‌دهی) به عنوان محدودیت ملایم و قطع آبیاری در ۵۰٪ چکمه‌ای شدن (رسیدن ۵۰٪ بوته‌های یک کرت به مرحله چکمه‌ای شدن) به عنوان محدودیت شدید آبی به ترتیب بر اساس کد ۵۵ و ۴۳ مقیاس BBCH (BBCH) در نظر گرفته شد.

فاصله زمانی این دو تنفس از یکدیگر ۱۷ روز بود. محلول-پاشی نانوسیلیکون در سه سطح (محلول پاشی با آب به عنوان شاهد، ۳۰ و ۶۰ میلی‌گرم در لیتر) (Parsapour et al., 2019) و کودهای زیستی در چهار سطح (عدم کاربرد به عنوان شاهد، کاربرد قارچ مایکوریزا، کاربرد باکتری‌های محرک رشد و کاربرد تؤام قارچ با باکتری) بودند.

مجدد اصطلاحاً «توزیع مجدد» گفته می‌شود (Luo et al., 2018). در شرایط محدودیت آبی کاهش فتوسنتز از طریق انتقال مجدد مواد ذخیره‌ای به دلیل افزایش فعالیت آنزیم‌های هیدرولیز کننده جبران می‌شود. درواقع در شرایط خشکی مقدار آب استخراج شده از خاک، استفاده کارآمد از این آب برای تبدیل به ماده خشک، تقسیم و انتقال مجدد آن و درنهایت عملکرد دانه را تعیین می‌کند (Rao et al., 2022). تنفس خشکی در مرحله گرده‌افشانی و پر شدن دانه موجب عقیمی گرده، کاهش تعداد دانه، ایجاد پیری زودرس، کاهش فتوسنتز، کوتاهی دوره پر شدن دانه و کاهش عملکرد دانه می‌شود (Moradi et al., 2022). از این‌رو استفاده از برخی عناصر ریزمغذی در شرایط خشکی، یکی از مناسب‌ترین روش‌هایی است که می‌تواند اثر منفی ناشی از خشکی را بر عملکرد گیاه کاهش دهد.

سیلیکون به عنوان یکی از عناصر شبیه ضروری در رشد، افزایش ماده خشک و فتوسنتز گیاهان تحت تنفس خشکی، بهبود عملکرد دانه گندم و همچنین توزیع مجدد مواد فتوسنتزی در شرایط تنفس خشکی (Parsapour et al., 2019) اهمیت زیادی داشته و در خانواده گندمیان در شرایط تنفس‌های غیر زیستی کاربرد دارد (Banerjee et al., 2021). همچنین سیلیکون به دلیل تأخیر در پیری برگ، افزایش استحکام و ضخامت برگ در شرایط تنفس خشکی موجب افزایش شاخص سطح برگ می‌شود (Namjoojan et al., 2020). سودمندی این عنصر در بهبود تحمل به تنفس خشکی تا حدودی به فعال شدن پمپ H^+-ATP_{ase} و جذب بیشتر یون پتاسیم مربوط می‌شود (Hattori et al., 2005).

علاوه بر نقش چشمگیری که عناصر ریزمغذی در بهبود مراحل رشدی گیاه در شرایط تنفس‌های غیر زیستی دارند، کودهای زیستی نیز می‌توانند تأثیر بسزایی در این شرایط داشته باشند. درواقع، استفاده از میکروارگانیسم‌های مفید خاک برای کاهش آسیب گیاه در شرایط تنفس خشکی، رویکردی مناسب در مناطق خشک و نیمه‌خشک است که از میان میکروارگانیسم‌های مفید، مهم‌ترین آن‌ها قارچ‌های مایکوریزا آربوسکولار و باکتری‌های محرک رشد گیاه را می‌توان نام برد (Azizi et al., 2021). همچنین محققان اظهار داشته‌اند که تلقیح بذر با باکتری‌های محرک رشد، میزان انتقال ماده خشک از کل بوته و سهم مشارکت ذخایر ساقه در پر شدن دانه را کاهش می‌دهد. درواقع باکتری‌های محرک رشد با ایجاد شرایط مناسب و افزایش سهم فتوسنتز جاری

جدول ۱. پارامترهای جوی ثبت شده در طول دوره رشدی گندم (مأخذ: اداره کل هواشناسی استان آذربایجان)

Table 1. Atmospheric parameters recorded during the period of wheat growth (Source: General Meteorological Department of Ardabil Province)

Months	ماهها	بارندگی Rainfall mm	میانگین دما °C	مجموع ساعت آفتابی Total hours of sunshine	میانگین رطوبت نسبی Relative humidity mean %
October	مهر	43.6	11.80	201.3	72
November	آبان	9.7	11.70	166.5	64
December	آذر	6.5	3.00	177.3	70
January	دی	16.5	4.60	165.4	67
February	بهمن	54.8	0.06	128.7	77
March	اسفند	26.5	7.00	157.5	73
April	فروردین	9.3	9.00	170.9	66
May	اردیبهشت	60.3	12.30	196.3	71
June	خرداد	28.2	16.80	148.6	71
July	تیر	3.9	21.50	344.2	60
August	مرداد	0.9	25.30	255.6	69

جدول ۲. خصوصیات فیزیکی و شیمیابی خاک مزرعه

Table 2. Farm soil physicochemical characteristics

عصاره اشبعان Saturated extract	pH	بافت خاک Soil texture	آهک CaCO ₃	رس Clay	سیلت Silt	شن Sand	کربن آلی Organic carbon	روی N	پتاسیم P	فسفر K	نیتروژن Zn
49	7.80	Loamy	14.40	23	42	35	0.62	0.06	8.29	202	1.80

مواد ایرانیان تهیه شد. رقم مورد استفاده «میهن» بود. این رقم دارای تیپ رشد زمستانه، نیمه متحمل به بیماری‌های زنگ قهوه‌ای و سیاه و متحمل به زنگ زرد است و از مرکز تحقیقات جهاد کشاورزی آذربایجان تهیه شد. هر واحد آزمایشی دارای پنج ردیف کاشت با فواصل بین ردیفی ۲۰ سانتی‌متر و تراکم ۴۰۰ بذر در مترمربع (تراکم مطلوب و توصیه شده این رقم) بود. بذر در مترمربع کاشت در ۱۲ آبان ماه انجام شد. اولین آبیاری بعد از کاشت کاشت در ۱۲ آبان ماه انجام شد. اولین آبیاری بعد از کاشت و آبیاری‌های بعدی بسته به شرایط محیطی، نیاز گیاه زراعی و سطوح ذکر شده انجام شد. به منظور اطمینان از عدم تداخل آب آبیاری به کرت‌های مجاور، فاصله‌ی بین کرت‌ها ۱/۵ متر در نظر گرفته شد.

برای بررسی شاخص سطح برگ (LAI) و وزن خشک کل (TDM) از ۱۵۵ روز بعد از کاشت (یعنی از ۱۸ فروردین) که بخیندان به اتمام رسیده، امکان نمونه‌برداری‌های منظم و مرتب بعدی به دلیل افزایش میانگین دمای هوای طول ساعت آفتابی نسبت به ماه‌های قبل امکان‌پذیر است؛ جدول ۱،

قارچ مورد استفاده *Glomus mosseae* بود که از شرکت زیست فناوران توران تهیه و به میزان ۲۰ گرم در هر مترمربع خاک (۲۰۰ کیلوگرم در هکتار) به روش استاندارد و Gianinazzi et al., (2001) به کاربرده شد. مایه تلقیح باکتری‌های *Pseudomonas putida* strain 186 و *Flavobacterium* از موسسه تحقیقات خاک و آب تهیه شد. برای تلقیح بذرها از مایه تلقیحی که هر گرم آن دارای ۱۰۸ عدد باکتری زنده و فعال بود استفاده شد. همچنین از محلول صمغ عربی برای چسبندگی بهتر مایه تلقیح به بذرها استفاده شد. این مخلوط به مدت دو ساعت در محل خشک و تاریک قرار داده شد. محلول‌پاشی نانو‌سیلیکون در دو مرحله ساقمه‌دهی و مرحله قبل از چکمه‌ای شدن (به ترتیب معادل با کد ۳۰ و ۴۳) با مقیاس BBCH (امال شد. نانو‌سیلیکون (Nano-SiO₂) با اندازه ذرات ۲۰ تا ۳۰ نانومتر محصول شرکت آمریکایی US Research Nanomaterials Research Nanomaterials بوده که از شرکت پیشگامان نانو

تفکیک شدند. پس از خشک کردن (قرار دادن در آون با دمای ۷۵ درجه سانتی گراد به مدت ۴۸ ساعت) به اندام‌های مختلف توزین و میزان انتقال ماده خشک، سهم فرایند انتقال مجدد از بخش رویشی به دانه و میزان مشارکت ذخایر ساقه در عملکرد دانه با استفاده از روابط زیر محاسبه شدند (Barnett and Pearce, 1983).

$$DMT=DMA-DMM \quad [۳]$$

که در آن^۱ DMT میزان انتقال ماده خشک کل بر حسب گرم در مترمربع، DMA^۲ حداکثر میزان ماده خشک اندام هوایی در برداشت اول و DMM^۳ میزان ماده خشک اندام هوایی (به جز دانه) در مرحله رسیدگی فیزیولوژیک است.

$$CDMAG=\left(\frac{DMT}{GY}\right) \times 100 \quad [۴]$$

در این رابطه CDMAG^۴ سهم فرایند انتقال مجدد ماده خشک کل در تشکیل دانه بر حسب درصد، DMT میزان انتقال ماده خشک بر حسب گرم در مترمربع و GY^۵ عملکرد دانه بر حسب گرم در مترمربع است.

$$SDMT=SDMA-SDMM \quad [۵]$$

در این رابطه SDMT^۶ میزان انتقال ماده خشک از ساقه بر حسب گرم در مترمربع، SDMA^۷ حداکثر وزن خشک ساقه در برداشت اول، SDMM^۸ وزن خشک ساقه در مرحله رسیدگی فیزیولوژیک است.

$$CSAG=\left(\frac{SDMT}{GY}\right) \times 100 \quad [۶]$$

در این رابطه CSAG^۹ سهم ذخایر ساقه در عملکرد دانه بر حسب درصد، SDMT میزان انتقال ماده خشک از ساقه بر حسب گرم در مترمربع و GY^{۱۰} عملکرد دانه بر حسب گرم در مترمربع است.

$$CP=GY-DMT \quad [۷]$$

در این رابطه CP^{۱۱} میزان فتوسنترز جاری بر حسب گرم در مترمربع، GY^{۱۲} عملکرد دانه بر حسب گرم در مترمربع و DMT میزان انتقال ماده خشک بر حسب گرم در مترمربع است.

$$CCPG=\left(\frac{CP}{GY}\right) \times 100 \quad [۸]$$

در این رابطه CCPG^{۱۳} سهم نسبی فتوسنترز جاری در دانه بر حسب درصد، CP میزان فتوسنترز جاری بر حسب گرم در مترمربع و GY^{۱۴} عملکرد دانه بر حسب گرم در مترمربع است.

نمونهبرداری‌ها به فاصله هر ده روز یکبار به روش تخریبی صورت گرفت. اندازه‌گیری شاخص سطح برگ در ۷ نوبت و وزن خشک کل در ۸ نوبت انجام شد که آخرین نمونهبرداری به ترتیب ۲۱۵ و ۲۲۵ روز بعد از کاشت صورت گرفت. بدینصورت که هر بار ده سانتی‌متر از خطوط اصلی کاشت و با رعایت اثر حاشیه‌ای انتخاب و بعدازآنتقال به آزمایشگاه به مدت ۷۲ ساعت (تا زمان تثبیت وزن خشک نهایی) در آون الکتریکی تهويه‌دار در دمای ± 5 درجه سانتی گراد خشک شده و با ترازوی ديجيتالي با دقت يكهزارم گرم توزین شدند. سپس شاخص سطح برگ و وزن خشک کل با استفاده از روابط ۱ و ۲ برآورد شدند (Seyed Sharifi and Gholinejad, 2021).

$$LAI=e^{(a+bt+ct^2)} \quad [۱]$$

$$TDM=e^{(a+bt+ct^2+dt^3)} \quad [۲]$$

در این روابط t زمان بین مراحل نمونهبرداری و a, b, c, d ضرایب معادله هستند. به عنوان مثال در معادله برآش شده $0.49 = e^{(-44.3 + 0.49t - 0.013t^2 + 0.21t^3)}$ مقادیر TDM^{۱۵} و $d=0.21$, $c=0.013$, $b=0.21$, $a=-44.3$ است. ضریب تبیین بالا و معنی‌دار و توزیع مناسب نقاط واقعی در اطراف منحنی و منطقی بودن روند تغییرات از نظر فیزیولوژیک دلیل اصلی انتخاب صحیح این معادلات برای کلیه تیمارهای موردنبررسی بود. از آنجایی که وزن خشک اندام‌های هوایی بعد از شروع مرحله پر شدن دانه کاهش می‌یابد ولی شروع این کاهش بسته به نوع گیاه و عوامل زراعی متفاوت است (Seyed Sharifi and Gholinejad, 2021). فلذا، برای اطمینان بیشتر در نمونه‌برداری بهمنظور برآورد میزان انتقال مجدد مواد از اندام‌های رویشی گیاه به دانه، اولین نمونهبرداری از زمان پر شدن دانه (که دانه به عنوان یک مخزن جدید محسوب شده و موجب می‌شود که مواد فتوسنترزی مازاد به جای انبیاشت در اندام‌های رویشی، در دانه‌ها منتقل شود) تا مرحله رسیدگی فیزیولوژیک نمونهبرداری انجام شد (Seyed Sharifi and Gholinejad, 2021). بدین ترتیب که در این مرحله هر چهار روز یکبار، ده سانتی‌متر از خطوط اصلی هر کرت با رعایت اثر حاشیه‌ای انتخاب شد. بوته‌های برداشت شده به ساقه، برگ و سنبله

^۷-Stem Dry Matter at Anthesis

^۸-Stem Dry Matter at Maturity

^۹-Contribution of Stem Assimilates to Grain

^{۱۰}-Current photosynthesis

^{۱۱}-Contribution Current photosynthesis in grain

^۱-Dry Matter Translocation

^۲-Dry Matter at Anthesis

^۳-Dry Matter at Maturity

^۴-Contribution of Dry Matter Assimilates to Grain

^۵-Grain Yield

^۶-Stem Dry Matter Translocation

کودهای زیستی و محلول‌پاشی ۶۰ میلی‌گرم در لیتر نانوسیلیکون، بیشترین شاخص سطح برگ (۳/۷۹) به دست آمد که از افزایش ۳۷ درصدی نسبت به عدم کاربرد کودهای زیستی و نانوسیلیکون در این سطح از آبیاری، برخوردار بود (جدول ۵). از طرفی، در شرایط محدودیت ملایم و شدید آبی در ۱۹۵ روز پس از کاشت، سطح برگ کاهش داشت. با توجه به نتایج، بیشترین شاخص سطح برگ در شرایط محدودیت ملایم و شدید آبی (به ترتیب با مقادیر ۲/۷۰ و ۲) از کاربرد توأم کودهای زیستی و محلول‌پاشی ۶۰ میلی‌گرم در لیتر نانوسیلیکون به دست آمد که نسبت به عدم کاربرد کود زیستی و نانوسیلیکون به ترتیب از افزایش ۲۵٪ و ۱۷/۶۴ درصدی برخوردار بود. همچنین در ۲۱۵ روز پس از کاشت کمترین شاخص سطح برگ (۰/۹۸) در حالت عدم کاربرد کودهای زیستی و نانوسیلیکون در شرایط محدودیت شدید آبی به دست آمد (جدول ۵). به نظر می‌رسد یکی از دلایل افزایش فتوسنتز و درنتیجه عملکرد دانه و ماده خشک در چنین ترکیبات تیماری (کاربرد توأم کودهای زیستی و محلول‌پاشی ۶۰ میلی‌گرم در لیتر نانوسیلیکون در شرایط آبیاری کامل)، می‌تواند ناشی از افزایش این شاخص باشد. محققان دیگر نیز شاخص سطح برگ را بهترین معیار برای تعیین ظرفیت تولید ماده خشک عنوان کرده (Nazari et al., 2012) و اظهار داشتند که کاربرد کودهای زیستی شاخص سطح برگ گندم بیشتری نسبت به عدم کاربرد این کودها داشته است (Çakmakçı et al., 2007).

در زمان رسیدگی از دو خط اصلی هر کرت با رعایت اثر حاشیه‌ای از سطحی معادل ۰/۲ مترمربع عملکرد دانه برآورد شد. برای ارزیابی تعداد دانه در سنبله، تعداد سنبلچه و ارتفاع بوته، ۱۰ بوته با رعایت اثر حاشیه‌ای از خطوط اصلی هر کرت برداشت شد. تجزیه داده‌ها با نرم‌افزار SAS (نسخه ۹/۴) و مقایسه میانگین داده‌ها با استفاده از آزمون LSD در سطح احتمال پنج درصد انجام شد.

نتایج و بحث شاخص سطح برگ

نتایج تجزیه واریانس نشان داد اثر سطوح آبیاری، کودهای زیستی و نانوسیلیکون در سطح احتمال یک درصد معنی‌دار شد (جدول ۳). نتایج جدول برشده‌ی نشان داد که شاخص سطح برگ در هر سه سطح آبیاری اختلاف معنی‌داری داشت (جدول ۴). روند تغییرات شاخص سطح برگ نشان داد که حداقل این شاخص در حالت عدم کاربرد کودهای زیستی و نانوسیلیکون در شرایط محدودیت شدید آبی و بیشترین آن در کاربرد توأم کودهای زیستی و محلول‌پاشی ۶۰ میلی‌گرم در لیتر نانوسیلیکون در شرایط آبیاری کامل، به دست آمد و پس از آن روند نزولی پیدا کرد (شکل ۱) که این امر احتمالاً به دلیل زرد شدن، ریزش برگ‌ها و نزدیک شدن به مرحله رسیدگی است. بر اساس نتایج مقایسه میانگین اثرات سه‌گانه، حداقل شاخص سطح برگ در ۱۹۵ روز پس از کاشت به دست آمد. بهنحوی که در شرایط آبیاری کامل با کاربرد توأم

جدول ۳. تجزیه واریانس (میانگین مربعات) شاخص سطح برگ گندم متاثر از فاکتورهای آزمایشی

Table 3. Analysis of variance (Mean squares) in the leaf area index of wheat as affected by experimental factors

S.O.V	منابع تغییر	درجه آزادی df	مراحل نمونه‌برداری (روز پس از کاشت)							
			Sampling steps (day after planting)	155	165	175	185	195	205	215
Replication	تکرار	2		1.91	0.0006	0.02	0.003	0.005	4.87	2.77
Irrigation (I)	آبیاری	2		4.66**	4.54**	9.71**	13.08**	12.76**	18.31**	8.01**
Biofertilizer (B)	کود زیستی	3		2.01**	1.72**	2.31**	1.97**	1.92**	0.92**	0.68**
Nano-Si (Si)	نانوسیلیکون	2		0.34**	0.25**	0.17**	0.45**	0.95**	0.95**	0.060**
B×I	کودزیستی×آبیاری	6		0.07**	0.05*	0.10**	0.16**	0.13**	0.16**	0.21**
Si×I	سیلیکون×آبیاری	4		0.14**	0.031	0.05**	0.03**	0.05**	1.33**	0.11**
Si×B	سیلیکون×کودزیستی	6		0.016*	0.011	0.016**	0.007	0.04**	0.02	0.021*
Si×B×I	سیلیکون×کودزیستی×آبیاری	12		0.018**	0.032**	0.015**	0.028**	0.016**	0.100**	0.034**
Error	اشتباه آزمایشی	70		0.0066	0.020	0.0052	0.0058	0.006	0.018	0.0078
C.V (%)	ضریب تغییرات	-		7.06	9.25	3.87	3.39	3.15	7.42	6.36

* و ** به ترتیب میانگین معنی‌داری در سطح ۵ و ۱٪

* and ** indicate significant at 0.05 and 0.01 probability levels, respectively

جدول ۴. برآورد اثرباری آبیاری × کودهای زیستی × نانو سیلیکون بر شاخص سطح برگ

Table 4. Slicing of triple effects of irrigation × bio-fertilizers × nano-silicon on leaf area index

Irrigation levels	آبیاری	سطح آبیاری درجه	Sampling steps (day after planting)						مراحل نمونه برداری (روز پس از کاشت)	
			155	165	175	185	195	205	215	
Full irrigation	آبیاری کامل	۱۱	۰.۳۴**	۰.۱۶**	۰.۳۶**	۰.۳۲**	۰.۴۲**	۰.۶۳**	۰.۳۱**	
Moderate stress	تش ملایم	۱۱	۰.۲۴**	۰.۳۲**	۰.۲۷**	۰.۳۵**	۰.۳۱**	۰.۳۸**	۰.۰۷**	
severe stress	تش شدید	۱۱	۰.۱۱**	۰.۱۱**	۰.۱۳**	۰.۰۸**	۰.۰۹**	۰.۱۰**	۰.۰۱*	

* and ** indicate significant at 0.05 and 0.01 probability levels, respectively . و *** به ترتیب بیانگر معنی داری در سطح ۰.۰۵ و ۰.۰۱ هستند.

جدول ۵. مقایسه میانگین اثرات سه گانه آبیاری × کودهای زیستی × نانو سیلیکون بر شاخص سطح برگ گندم

Table 5. Means comparison triple effects of irrigation × bio-fertilizers × nano-silicon on leaf area index of wheat

Irrigation levels	آبیاری treatments	Sampling steps (day after planting)						مراحل نمونه برداری (روز پس از کاشت)
		155	165	175	185	195	205	215
I ₁	B ₀ S ₀	1.03 ^{hij}	1.90 ^{cdef}	2.05 ^e	2.47 ^e	2.76 ^{fg}	2.33 ^{ef}	1.59 ^f
	B ₁ S ₀	1.36 ^{de}	1.92 ^{cdef}	2.27 ^d	2.77 ^{cd}	2.87 ^{def}	2.58 ^d	1.71 ^{ef}
	B ₂ S ₀	1.77 ^b	1.92 ^{cdef}	2.52 ^c	2.97 ^b	3.05 ^c	2.66 ^{cd}	2.03 ^{cd}
	B ₃ S ₀	1.94 ^a	2.09 ^{abc}	2.71 ^b	3.22 ^a	3.41 ^b	2.74 ^{cd}	2.16 ^{bc}
	B ₀ S ₁	1.13 ^{gh}	1.90 ^{cdef}	2.05 ^g	2.51 ^e	2.76 ^{fg}	2.53 ^{de}	1.73 ^{ef}
	B ₁ S ₁	1.30 ^e	1.92 ^{cdef}	2.27 ^d	2.88 ^{bc}	2.93 ^{cde}	2.63 ^{ed}	1.76 ^e
	B ₂ S ₁	1.66 ^{bc}	1.97 ^{bcd}	2.54 ^c	2.99 ^b	3.38 ^b	2.80 ^c	2.13 ^{bc}
	B ₃ S ₁	1.96 ^a	2.18 ^{ab}	2.89 ^a	3.24 ^a	3.48 ^b	3.13 ^b	2.26 ^b
	B ₀ S ₂	1.23 ^{efg}	1.91 ^{cdef}	2.17 ^d	2.72 ^d	2.86 ^{ef}	2.10 ^g	1.31 ^{ghi}
	B ₁ S ₂	1.43 ^d	1.95 ^{bcd}	2.45 ^c	2.96 ^b	2.99 ^d	2.26 ^{fg}	1.94 ^d
I ₂	B ₂ S ₂	1.76 ^b	1.98 ^{bcd}	2.66 ^b	3.21 ^a	3.38 ^b	2.56 ^d	2.06 ^{cd}
	B ₃ S ₂	1.98 ^a	2.27 ^a	2.94 ^a	3.27 ^a	3.79 ^a	3.40 ^a	2.46 ^a
	B ₀ S ₀	0.55 ^{no}	1.44 ^{hijk}	1.55 ^{lmn}	1.81 ^{ijk}	2.16 ⁿ	1.07 ^{nopq}	0.98 ^{op}
	B ₁ S ₀	0.86 ^{kl}	1.45 ^{hijk}	1.68 ^{ijk}	1.90 ^{ij}	2.32 ^{lm}	1.29 ^{ijklmn}	1.16 ^{kljm}
	B ₂ S ₀	0.96 ^{ijk}	1.524 ^{ghij}	1.77 ^{hi}	2.24 ^g	2.51 ^{ij}	1.55 ^{hi}	1.08 ^{lmno}
	B ₃ S ₀	1.08 ^{hi}	1.55 ^{gh}	1.93 ^{fg}	2.39 ^{ef}	2.60 ^{hi}	1.63 ^h	1.10 ^{iklmo}
	B ₀ S ₁	0.96 ^{ijk}	1.47 ^{hijk}	1.59 ^{klm}	1.86 ^{ij}	2.22 ^{mn}	1.24 ^{klmnop}	1.00 ^{op}
	B ₁ S ₁	1.07 ^{hi}	1.527 ^{ghi}	1.72 ^{ij}	1.91 ^{hi}	2.36 ^{kl}	1.30 ^{ijk}	1.10 ^{klmno}
	B ₂ S ₁	1.28 ^{fe}	1.70 ^{fg}	1.77 ^{hi}	2.24 ^g	2.52 ^{ij}	1.44 ^{hijk}	1.10 ^{iklmo}
	B ₃ S ₁	1.36 ^{de}	1.75 ^{defg}	1.96 ^{efg}	2.39 ^{ef}	2.62 ^{hi}	1.50 ^{hij}	1.23 ^{ghijk}
I ₃	B ₀ S ₂	0.75 ^{lm}	1.46 ^{hijk}	1.64 ^{klm}	1.88 ^{ij}	2.30 ^{lm}	2.18 ^{fg}	1.15 ^{klmn}
	B ₁ S ₂	0.93 ^{jk}	1.52 ^{gh}	1.74 ^{hij}	2.03 ^h	2.46 ^{ik}	2.26 ^{fg}	1.33 ^{gh}
	B ₂ S ₂	1.26 ^{efg}	1.73 ^{fg}	1.84 ^{gh}	2.27 ^{fg}	2.55 ^{ij}	2.15 ^{fg}	1.36 ^g
	B ₃ S ₂	1.60 ^c	1.81 ^{defg}	2.00 ^{ef}	2.39 ^{ef}	2.70 ^{gh}	2.11 ^{fg}	1.21 ^{hjkl}
	B ₀ S ₀	0.44 ^o	0.86 ^r	1.04 ^t	1.31 ^o	1.70 ^s	1.01 ^q	0.80 ^q
	B ₁ S ₀	0.65 ^{mn}	1.11 ^{mnopq}	1.25 ^{rs}	1.60 ^{mn}	1.78 ^{qrs}	1.13 ^{mnopq}	1.11 ^{ijklmo}
	B ₂ S ₀	0.86 ^{kl}	1.13 ^{mnopq}	1.38 ^{pq}	1.71 ^{klm}	1.89 ^{opq}	1.27 ^{klmno}	1.10 ^{jklnmo}
	B ₃ S ₀	0.95 ^{ijk}	1.27 ^{klmn}	1.48 ^{mnop}	1.77 ^{ijk}	1.92 ^{op}	1.32 ^{klm}	1.11 ^{jklnmo}
	B ₀ S ₁	0.49 ^o	1.08 ^{nopqr}	1.22 st	1.53 ⁿ	1.72 ^{rs}	1.03 ^{pq}	0.91 ^{pq}
	B ₁ S ₁	0.86 ^{kl}	1.20 ^{lmno}	1.34 ^{qr}	1.65 ^{lm}	1.83 ^{pqr}	1.06 ^{opq}	1.01 ^{op}
I ₄	B ₂ S ₁	0.93 ^{jk}	1.191 ^{mnop}	1.40 ^{opq}	1.2 ^{klm}	1.91 ^{op}	1.181 ^{mnopq}	1.16 ^{ijklm}
	B ₃ S ₁	1.03 ^{hij}	1.31 ^{ijklm}	1.51 ^{lmno}	1.81 ^{ijk}	1.95 ^{op}	1.40 ^{ijkl}	1.04 ^{mnop}
	B ₀ S ₂	0.89 ^k	1.01 ^{opqr}	1.25 ^{rs}	1.59 ^{mn}	1.77 ^{qrs}	1.23 ^{klmnp}	1.09 ^{klmno}
	B ₁ S ₂	0.83 ^{kl}	1.29 ^{ijklm}	1.35 ^{qr}	1.67 ^{lm}	1.88 ^{opq}	1.30 ^{iklm}	1.11 ^{jklnmo}
	B ₂ S ₂	1.05 ^{hij}	1.33 ^{ijklm}	1.45 ^{nopq}	1.72 ^{klm}	1.93 ^{op}	1.31 ^{iklm}	1.16 ^{igklm}
	B ₃ S ₂	1.16 ^{fgh}	1.37 ^{ijkl}	1.54 ^{lmn}	1.85 ^{ij}	2.00 ^o	1.40 ^{ijkl}	1.24 ^{ghij}

میانگین‌های دارای حروف مشترک در هر ستون اختلاف معنی داری با یکدیگر در سطح احتمال خطای پنج درصد بر اساس آزمون LSD ندارند.

I₁ و I₂ به ترتیب عدم تنش، تنش ملایم و تنش شدید B₀, B₁, B₂ و B₃ به ترتیب عدم تلقیح، تلقیح با قارچ، تلقیح با باکتری و تلقیح توأم قارچ و باکتری؛ S₀ و S₁ و S₂ به ترتیب شاهد، ۳۰ و ۶۰ میلی گرم در لیتر نانو سیلیکون.

Means in each column followed by similar letter(s) are not significantly different at 5% probability level, using LSD test. I₁, I₂ and I₃: No stress, Mild stress Severe stress; B₀, B₁, B₂ and B₃: Non-inoculated, Inoculated with *Mycorrhiza*, Inoculation with bacteria and Co-inoculation of *Mycorrhiza* and bacteria; S₀, S₁ and S₂: 0, 30 and 60 mg m⁻²

سرعت زیادی افزایش و در ۲۰۵ روز پس از کاشت به حداقل مقدار خود رسید و پس از آن روند نزولی داشت (شکل ۲). مقایسه میانگین اثرات سه گانه نشان داد بیشترین ماده خشک تولیدی $180.7/33$ گرم در مترمربع) در ۲۰۵ روز پس از کاشت از کاربرد توأم کودهای زیستی و محلول پاشی ۶۰ میلی گرم در لیتر نانوسیلیکون در شرایط آبیاری کامل به دست آمد. اثر محدودیت آبی بر روند ماده خشک کاملاً مشهود بود و با افزایش سطح تنفس، از میزان ماده خشک کل در گیاه کاسته شد. به طوری که عدم کاربرد کودهای زیستی و نانوسیلیکون در شرایط محدودیت ملایم و شدید آبی در ۲۰۵ روز پس از کاشت، به ترتیب موجب کاهش ۱۳ و ۱۵ درصدی ماده خشک کل نسبت به کاربرد توأم کودهای زیستی و محلول پاشی ۶۰ میلی گرم در لیتر نانوسیلیکون در این سطح آبیاری گردید. در ۲۲۵ روز پس از کاشت نیز کمترین ماده خشک $98.5/33$ گرم در مترمربع) از عدم کاربرد کودهای زیستی و نانوسیلیکون در شرایط محدودیت شدید آبی به دست آمد (جدول ۸).

می‌رسد با افزایش شدت تنفس، میزان پتانسیل فشاری آب داخل برگ‌ها که از عوامل افزایش‌دهنده رشد سطح برگ معروفی شده است کاهش می‌یابد (Shao et al., 2008) و همین امر می‌تواند یکی از دلایل اصلی کاهش سطح برگ در شرایط محدودیت آبی در مقایسه با آبیاری کامل باشد.

زیست‌توده کل

نتایج تجزیه واریانس نشان داد اثر سطوح آبیاری، کودهای زیستی و نانوسیلیکون در سطح احتمال یک درصد معنی‌دار شد (جدول ۶). نتایج جدول برش‌دهی نشان داد که زیست‌توده کل در هر سه سطح آبیاری اختلاف معنی‌داری داشت (جدول ۷).

بررسی روند تغییرات این شاخص نشان داد از ۱۵۵ تا ۱۶۵ روز پس از کاشت، تجمع ماده خشک با سرعت کمی در کلیه ترکیب‌های تیماری افزایش داشت و پس از آن با افزایش سطح برگ (شکل ۱) و فتوسنتر گیاه، تجمع ماده خشک با

جدول ۶. تجزیه واریانس (میانگین مربعات) زیست‌توده کل گندم متأثر از فاکتورهای آزمایشی

Table 6. Analysis of variance (Mean squares) in total biomass of wheat as affected by experimental factors

S.O.V	منابع تغییر	Sampling steps (day after planting)							مراحل نمونه‌برداری (روز پس از کاشت)	
		df	155	165	175	185	195	205		
Replication	تکرار	2	20063	180162	631000.7	1127254	2131243	3360255	2897030	2509196
	آبیاری	2	890**	19065**	123666.4**	128961**	621576**	912679**	1022420**	1437482**
Irrigation(I)	کود زیستی	3	7475**	39799**	230348.0**	155801**	354680**	212252**	112929**	161222**
	نانوسیلیکون	2	4277**	150100**	426325.3**	433641**	380662**	318427**	261281*	160849**
Biofertilizer(B)	Nano-Si (Si)	6	48.0**	1775**	12256.5**	2410**	53560**	3474*	1322	6258**
	آبیاری×کود زیستی	4	179**	119	10867.4**	3464**	5056**	64603**	16485**	51013**
I× Si	آبیاری×نانوسیلیکون	6	57.3**	2729**	13055.2**	14943**	1195	8839**	2514**	13611**
	کود زیستی×نانوسیلیکون	12	30.1**	1024**	7489.9**	3611**	3168**	8222**	6454**	6027**
I× B× Si	آبیاری×کود زیستی×نانوسیلیکون	70	13.13	189.5	790.9	668.1	1316	1344	1170	1552
	اشتباه آزمایشی	-	3.07	3.90	4.28	2.92	2.98	2.40	2.41	2.98
C.V (%)										

* و ** به ترتیب بیانگر معنی‌داری در سطح ۵ و ۱٪

* and ** indicate significant at 0.05 and 0.01 probability levels, respectively

جدول ۷. برش دهی اثرات سه‌گانه آبیاری×کودهای زیستی×نانوسیلیکون بر شاخص سطح برگ

Table 7. Slicing of triple effects effects irrigation×bio-fertilizers× nano-silicon on total biomass

Irrigation levels	آبیاری	سطوح آبیاری آزادی	Df	Sampling steps (day after planting)								مراحل نمونهبرداری (روز پس از کاشت)
			درجه	155	165	175	185	195	205	215	225	
Full irrigation	آبیاری کامل	11	980.23**	14100**	87007**	46255**	29979**	23384**	21060**	28720**		
Moderate stress	تنش ملایم	11	1067.60**	16458**	45397**	43465**	84913**	84124**	40589**	53833**		
severe stress	تنش شدید	11	924.72**	11207**	33861**	46281**	86213**	47455**	31787**	26626**		

** indicate significant at 0.01 probability levels

/٪ بیانگر معنی‌داری در سطح **

جدول ۸. مقایسه میانگین اثرات سه‌گانه آبیاری×کودهای زیستی×نانوسیلیکون بر زیست‌توده کل گندم

Table 8. Means comparison triple irrigation×bio-fertilizers× nano-silicon on total biomass of wheat

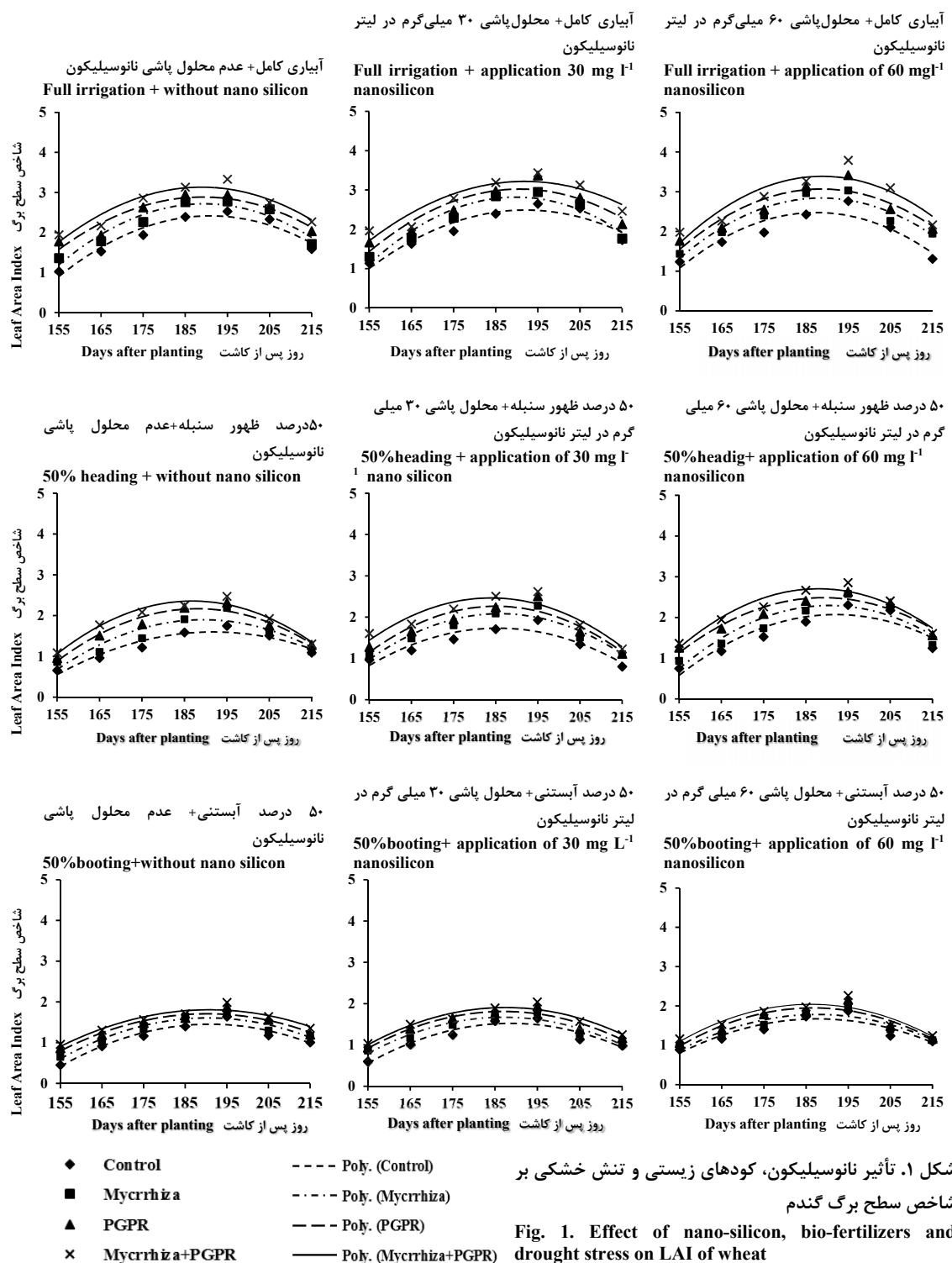
Irrigation levels	ترکیب تیماری	سطوح آبیاری	Sampling steps (day after planting)								مراحل نمونهبرداری (روز پس از کاشت)
			155	165	175	185	195	205	215	225	
I ₁	B ₀ S ₀	133.3 ^{cde}	388.3 ^{e fg}	703.3 ^{ef}	949.3 ^{def}	1363.3 ^{cd}	1653.3 ^{def}	1497.6 ^{fg}	1416.0 ^{fg}		
	B ₁ S ₀	136.0 ^{b c}	405.6 ^{d e}	775.0 ^{ed}	978.6 ^d	1384.3 ^{bc}	1706.0 ^{cd}	1606.0 ^d	1525.3 ^{de}		
	B ₂ S ₀	136.6 ^{b c}	431.6 ^{b c}	799.3 ^{3c}	1038.6 ^c	1401.0 ^{bc}	1718.3 ^c	1615.6 ^{cd}	1581.6 ^{bcd}		
	B ₃ S ₀	138.6 ^{a b c}	453.6 ^b	895.67 ^b	1102.6 ^b	1443.3 ^{ab}	1794.6 ^{ab}	1676.3 ^{ab}	1610.6 ^{b c}		
	B ₀ S ₁	133.6 ^{cde}	389.6 ^{e fg}	744.67 ^{de}	970.0 ^{de}	1372.3 ^c	1689.3 ^{cde}	1549.6 ^{ef}	1443.3 ^{fg}		
	B ₁ S ₁	135.3 ^{b c}	420.6 ^{cd}	786.3 ^{3d}	985.6 ^d	1384.3 ^{bc}	1701.6 ^{cd}	1617.0 ^{cd}	1559.0 ^{cd}		
	B ₂ S ₁	138 ^{a b c}	432.6 ^{b c}	871.00 ^b	1078.3 ^{bc}	1401.0 ^{bc}	1744.0 ^{bc}	1606.6 ^d	1587.3 ^{bcd}		
	B ₃ S ₁	140.3 ^{a b}	485.6 ^a	906.00 ^b	1110.0 ^b	1406.6 ^{bc}	1800.0 ^{ab}	1653.6 ^{a d}	1643.6 ^{a b}		
	B ₀ S ₂	135 ^{cde}	398.6 ^{def}	765.00 ^{ed}	978.0 ^d	1374.0 ^c	1692.6 ^{cde}	1603.0 ^{de}	1462.0 ^{ef}		
	B ₁ S ₂	136.3 ^{b c}	420.6 ^{cd}	793.00 ^c	988.6 ^d	1384.6 ^{bc}	1716.3 ^c	1621.0 ^{ed}	1581.0 ^{bcd}		
I ₂	B ₂ S ₂	137.6 ^{a b c}	433.0 ^{b c}	883.00 ^b	1078.3 ^{bc}	1482.6 ^a	1793.6 ^{ab}	1671.3 ^{a b c}	1600.0 ^{b c}		
	B ₃ S ₂	143.6 ^a	494.3 ^a	989.3 ^{3a}	1207.0 ^a	1497.6 ^a	1807.3 ^a	1694.6 ^a	1677.3 ^a		
	B ₀ S ₀	111 ^{ijk}	328.0 ^{ik}	586.0 ^{k l m n}	818.3 ^{i j k l}	1123.6 ^{i j}	1428.0 ^{l m n}	1302.3 ^{k l}	1206.33 ^{k o}		
	B ₁ S ₀	115 ^{ijk}	340.0 ^{ijk}	625.6 ^{i j k}	830.6 ^{h i j}	1210.3 ^h	1480.6 ^{k l}	1380.0 ^j	1223.33 ^{k l m}		
	B ₂ S ₀	120.3 ^{hi}	351.6 ⁱ	642.3 ^{h i j}	865.6 ^{h i}	1246.0 ^{f g h}	1537.3 ^{i j k}	1424.0 ^{h i j}	1258.67 ^{i k}		
	B ₃ S ₀	127.3 ^{f g}	354.0 ^{h i}	674.3 ^{f g h}	877.0 ^{g h}	1298.0 ^{e f}	1593.0 ^{g h i}	1475.6 ^{g h}	1384.33 ^{g h}		
	B ₀ S ₁	112.6 ^{ik}	334.3 ^{i j k}	586.0 ^{k l m n}	818.3 ^{i j k l}	1132.0 ⁱ	1431.3 ^{l m n}	1308.0 ^k	1207.33 ^{k o}		
	B ₁ S ₁	116.0 ^{ij}	349.0 ^{ij}	627.3 ^{i j k}	836.6 ^{h i j}	1215.0 ^{g h}	1517.3 ^{i j k}	1396.0 ^{ij}	1244.33 ^{j k l}		
	B ₂ S ₁	120.6 ^{h i}	352.2 ^{h i}	652.3 ^{g h i}	858.6 ^{h i}	1261.6 ^{g h}	1563.0 ^{h i j}	1449.6 ^{g h i}	1301.33 ^{i j}		
	B ₃ S ₁	129.0 ^f	374.3 ^{g h}	695.0 ^{f g}	915.0 ^{g f g}	1299.6 ^{e f}	1605.0 ^{f g h}	1475.6 ^{g h}	1387.00 ^{g h}		
	B ₀ S ₂	113.3 ^{ik}	336.6 ^{i j k}	606.3 ^{j k l}	821.6 ^{i j k l}	1202.6 ^h	1440.6 ^{l m n}	1316.6 ^k	1211.00 ^{k l m n}		
I ₃	B ₁ S ₂	119.6 ^{h i}	350.6 ⁱ	631.6 ^{h i j k}	854.6 ^{h i}	1228.6 ^{g h}	1526.6 ^{i j k}	1399.0 ^{ij}	1244.33 ^{j k l}		
	B ₂ S ₂	122.0 ^{g h}	353.0 ^{h i}	673.6 ^{f g h}	873.0 ^{g h}	1273.6 ^{f g h}	1573.3 ^{g h i}	1469.3 ^{g h}	134.00 ^{h i}		
	B ₃ S ₂	130 ^{def}	382.3 ^{f g}	696.3 ^{f g}	930.3 ^{e f g}	1306.0 ^{d e}	1641.0 ^{e f g}	1495.3 ^{f g}	1415.33 ^{f g}		
	B ₀ S ₀	82.0 ^p	238.0 ^q	411.0 ^r	629.6 ^q	816.6 ⁿ	1208.3 ^t	1113.6 ^p	985.3 ^t		
	B ₁ S ₀	87.6 ^{op}	252.0 ^{p q}	495.0 ^{q r s}	747.6 ^p	991.0 ^l	1293.3 ^s	1207.0 ^{no}	1089.0 ^{q r s}		
	B ₂ S ₀	102.6 ⁿ	267.6 ^{op}	528.3 ^{o p q r}	774.3 ^{m p}	1045.3 ^{k l}	1355.0 ^{p q r}	1245.0 ^{m n n}	1128.3 ^{p q}		
	B ₃ S ₀	109.3 ^{k l m}	301.3 ^{m n}	569.3 ^{l m o}	793.6 ^{k l m}	1092.3 ^{i j k}	1376.0 ^{n o p}	1278.3 ^{k l m}	1175.6 ^{m n o p}		
	B ₀ S ₁	82.3 ^p	239.6 ^q	470.6 ^s	738.3 ^p	831.6 ⁿ	1222.6 ^t	1170.0 ^o	1031.3 ^{t s}		
I ₃	B ₁ S ₁	90.0 ^o	257.6 ^{o p q}	505.6 ^{o p q r s}	748.0 ^{o p}	992.0 ^l	1298.0 ^{r s}	1208.3 ^{n o}	1109.0 ^{q r q}		
	B ₂ S ₁	103.6 ⁿ	269.0 ^{o p}	535.6 ^{n o p q}	784.6 ^{l o}	1071.0 ^{i k}	1361.0 ^{o p q}	1247 ^{m n l}	1146.3 ^{o p q}		
	B ₃ S ₁	110.0 ^{k l}	303.3 ^{l m}	575.0 ^{l m n}	797.3 ^{j k l m}	1114.0 ^{i j j}	1390.6 ^{m n o p}	1295.6 ^{k l m}	1180.6 ^{l m n o p}		
	B ₀ S ₂	83.6 ^p	250.0 ^{o p q}	485.6 ^{r s}	739.3 ^p	931.6 ⁿ	1227.6 ^t	1203.0 ^{n o}	1060.0 ^{r s t}		
	B ₁ S ₂	101.0 ⁿ	262.3 ^{o p}	514.6 ^{o p q r s}	749.6 ^{o p o p}	993.6 ^l	1312.6 ^{q r s}	1215.6 ^{o n o}	1120.6 ^{r q}		
	B ₂ S ₂	105 ^{l m n}	279.6 ^{o n o}	551.3 ^{m - p}	791.6 ^{k - n}	1091.3 ^{i j k}	1373.3 ^{n o p}	1272.6 ^{k l m}	1149.3 ^{o p q}		
	B ₃ S ₂	110.3 ^{i k l}	324.3 ^{k l}	579.6 ^{l m n}	812.0 ^{j k l m}	1118.0 ^{i j j}	1418.3 ^{m n o}	1301.3 ^{k l}	1204.6 ^{k - p}		

میانگین‌های دارای حروف مشترک در هر ستون اختلاف معنی‌داری با یکدیگر در سطح احتمال خطای پنج درصد بر اساس آزمون LSD ندارند

I₁, I₂ و I₃: به ترتیب عدم تنش، تنش ملایم و تنش شدید; B₀, B₁, B₂ و B₃: به ترتیب عدم تلقیح، تلقیح با قارچ، تلقیح با باکتری و تلقیح توأم قارچ و باکتری؛ S₀, S₁ و S₂: به ترتیب شاهد، ۳۰ و ۶۰ میلی‌گرم در لیتر نانوسیلیکون

Means in each column followed by similar letter(s) are not significantly different at 5% probability level, using LSD test.

I₁, I₂ and I₃: No stress, Mild stress Severe stress; B₀, B₁, B₂ and B₃: Non-inoculated, Inoculated with *Mycorrhiza*, Inoculation with bacteria and Co-inoculation of *Mycorrhiza* and bacteria; S₀, S₁ and S₂: 0, 30 and 60 mg m⁻²

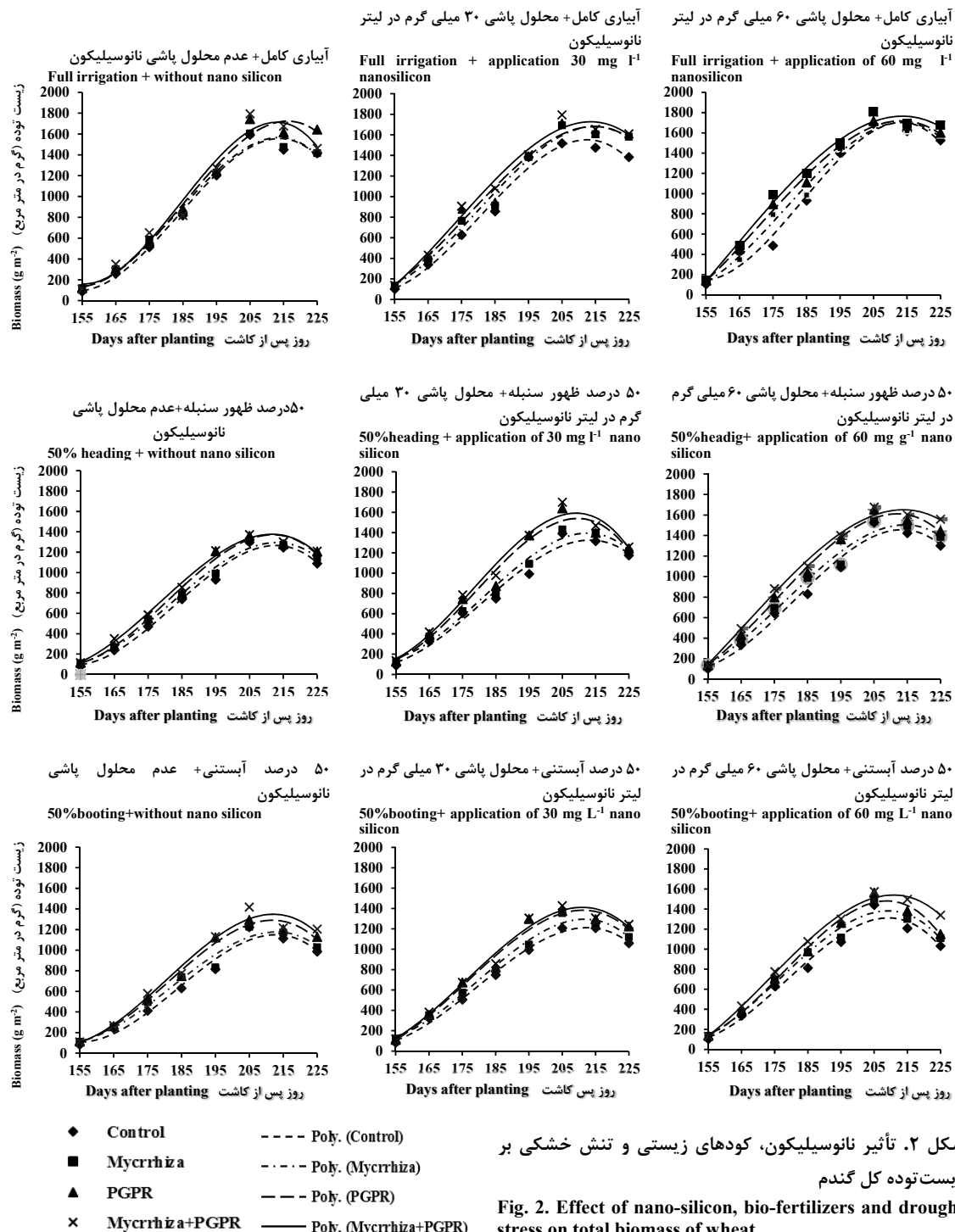


شکل ۱. تأثیر نانو سیلیکون، کودهای زیستی و تنفس خشکی بر
شاخص سطح برگ گندم

Fig. 1. Effect of nano-silicon, bio-fertilizers and
drought stress on LAI of wheat

که به دلیل فتوسنتز برگ‌ها و ماده‌سازی، وزن خشک گیاه افزایش می‌یابد. مرحله سوم، در این مرحله هم‌زمان با انتقال مواد از اندام‌ها به دانه‌ها، به علت ریزش برگ‌ها در اثر سایه

به طور کلی روند تغییرات ماده خشک در سه مرحله خلاصه می‌شود: مرحله اول، مرحله رشد آهسته که چون گیاه در حال رشد است و برگ چندانی ایجاد نمی‌کند، لذا ماده خشک تولیدی کم است. مرحله دوم، مرحله رشد سریع است



ساقه و برگ، درنهایت منجر به کاهش زیست‌توده کل می‌شود. ولی کاربرد کودهای زیستی، با جذب و ذخیره مواد غذایی در برگ و ساقه موجب کاهش اثر منفی خشکی شده و با ذخیره این مواد در گیاه، منجر به افزایش زیست‌توده کل می‌شود.

اندازی، پیری و عدم توانایی کافی جهت فتوسنترز و ماده‌سازی، تجمع ماده خشک در گیاه روند نزولی به خود می‌گیرد (Nazari et al., 2012). گزارش شده است تنش خشکی از طریق تأثیر منفی بر رشد قسمت‌های مختلف گیاه از جمله

Al-juthery et al., 2019 خشک کل در گیاهان تحت تنفس می‌شود ().

Bahamin et al., 2021) که مشاهده می‌گردد تا ۱۵۵ روز بعد از کاشت در راست مرحله اول رشد آهسته را شامل می‌شود زیرا از زمان کاشت تا ۱۵۵ روز بعد از آن، به دلیل کاهش دمای هوا (جدول ۱) در منطقه مورد کشت، رشد گیاهان کم بوده و بعد از اواسط فروردین ماه با افزایش دمای هوا (جدول ۱) رشد گیاهان و بیوماس تولیدی به دلیل گسترش سطح برگ (شکل ۱) و اندام‌های هوایی به مدت حدود ۵۰ روز افزایش می‌یابد. سپس به دلیل ورود گیاه به مرحله زایشی، زرد و پیر شدن برگ‌ها و درنهایت رسیدگی گیاه، تغییرات بیوماس تولیدی روند نزولی به خود می‌گیرد (شکل ۲). کاربرد نانوسیلیکون می‌تواند به طور معنی‌داری محتوای سیلیکون، لیگنین و سلولز را در ساقه‌ها افزایش داده و درنتیجه منجر به تولید ماده خشک بیشتر در واحد سطح شود (Gong et al., 2021). به نظر می‌رسد نانو ذرات سیلیکون جذب شده توسط گیاه، با فراهمی سطح بیشتری برای انجام واکنش‌های متابولیکی مختلف، لایه‌ای را در دیواره سلولی ایجاد می‌کند که موجب افزایش تحمل گیاه نسبت به تنفس‌های محیطی و درنتیجه منجر به بهبود رشد و ماده

میزان انتقال مجدد ماده خشک
اثر اصلی سطوح آبیاری، کودهای زیستی و نانوسیلیکون بر میزان انتقال مجدد ماده خشک از ساقه و کل اندام هوایی، میزان فتوسنترز جاری و سهم مشارکت آن‌ها در عملکرد دانه در سطح احتمال یک درصد و اثر ترکیب تیماری سطوح آبیاری در کودهای زیستی، آبیاری در نانوسیلیکون، نانوسیلیکون در کودهای زیستی بر سهم فرایند انتقال مجدد در عملکرد دانه، میزان مشارکت ذخایر ساقه در عملکرد دانه، سهم این فرایند در عملکرد دانه در سطح احتمال یک درصد معنی‌دار شد (جدول ۹). اثر ترکیب تیماری سطوح آبیاری در کودهای زیستی، نانوسیلیکون در کودهای زیستی بر میزان فتوسنترز جاری در سطح احتمال یک درصد معنی‌دار شد (جدول ۹).

جدول ۹. تجزیه واریانس (میانگین مربعات) صفات فرآیند انتقال مجدد ماده خشک و فتوسنترز جاری گندم متأثر از فاکتورهای آزمایشی
Table 9. Analysis of variance (Mean squares) in the dry matter remobilization process of wheat as affected by experimental factors

منابع تغییر S.O.V	درجه آزادی df	میزان انتقال ماده خشک کل DMT	سهم انتقال ماده خشک کل CDMAG	میزان انتقال ماده خشک از ساقه SDMT	سهم ذخایر ساقه CSAG	میزان فتوسنترز جاری CP	سهم نسبی جاری SSPG
Replication	تکرار	2	376.00	446.77	371.62	224.54	86067.67
Irrigation (I)	آبیاری	2	5076.30**	3323.89**	25779.73**	7105.59**	156759.88**
Biofertilizer (B)	کود زیستی	3	2136.95**	2246.31**	717.38**	572.73**	72386.03**
Nano-Si (Si)	نانوسیلیکون	2	271.34*	812.69**	333.70*	675.74**	44554.95**
B×I		6	78.80	292.95**	78.36	156.39**	4274.91**
Si×I	کودزیستی×آبیاری	4	45.22	176.07**	108.15	117.32**	1131.24
Si×B	نانوسیلیکون×آبیاری	6	15.42	167.72**	15.21	114.70**	7306.06**
Si×B×I	نانوسیلیکون×کودزیستی×آبیاری	12	61.20	148.44	87.25	40.30	1317.22
Error	اشتباه آزمایشی	70	78.67	33.78	90.23	27.50	1140.67
	ضریب تغییرات C.V (%)	-	11.59	17.25	15.25	12.93	9.36

* و ** به ترتیب بیانگر معنی‌داری در سطح ۵ و ۱٪

* and ** indicate significant at 0.05 and 0.01 probability levels, respectively

جدول ۱۰. مقایسه میانگین فرآیند انتقال مجدد ماده خشک و برخی صفات متأثر از فاکتورهای آزمایشی

Table 10. Means comparison between the dry matter remobilization process and yield components of affected experimental factors

تیمارهای آزمایشی Experimental treatments	میزان انتقال ماده dry matter transfer	میزان انتقال ماده خشک کل DMT	میزان انتقال ماده خشک از ساقه SDMT	ارتفاع بوته Plant height	دانه در سنبله Seeds in the spike	تعداد سنبله‌چه Number of spiklets	وزن هزار دانه WTS
Irrigation levels	سطح آبیاری	(g.m ⁻²)	(g.m ⁻²)				
Normal irrigation	آبیاری نرمال	64.88 ^c	32.12 ^c	63.71 ^a	40.70 ^a	15.16 ^a	41.27 ^a
Moderate drought stress	تنش خشکی ملایم	75.89 ^b	51.45 ^b	59.85 ^b	37.69 ^b	14.70 ^a	38.4 ^b
Severe drought stress	محدودیت شدید آبی	88.61 ^a	63.22 ^a	54.98 ^c	32.14 ^c	13.81 ^b	36.39 ^c
Nano silicon (mg l⁻¹)							
Control	شاهد	79.18 ^a	65.78 ^a	-	35.50 ^b	13.66 ^b	-
30 (mg.l ⁻¹)		76.51 ^{ab}	60.57 ^b	-	37.44 ^a	14.79 ^a	-
60 (mg.l ⁻¹)		73.69 ^b	60.44 ^b	-	37.59 ^a	14.22 ^a	-
Bio fertilizers							
Non-inoculated	شاهد	85.61 ^a	70.80 ^a	55.93 ^b	31.81 ^b	13.37 ^c	33.71 ^c
Mycorrhiza	تلقیح با قارچ	81.61 ^a	64.73 ^b	59.48 ^{ab}	37.93 ^a	15.02 ^a	38.42 ^b
PGPR	تلقیح با باکتری‌های حرک رشد	72.87 ^b	60.76 ^b	60.21 ^a	38.45 ^a	14.33 ^a	41.29 ^a
کاربرد مایکوریزا و باکتری‌های حرک رشد							
Mycorrhiza and PGPR application		65.76 ^c	53.32 ^c	62.41 ^a	38.82 ^a	15.52 ^a	41.32 ^a

میانگین‌های دارای حروف مشترک در هر ستون و عامل اختلاف معنی‌داری با یکدیگر در سطح احتمال خطای پنج درصد بر اساس آزمون LSD ندارند.
Means in each column and factors followed by similar letter(s) are not significantly different at 5% probability level, using LSD test.

کاربرد نانوسیلیکون در این سطح از آبیاری شد. به نظر می‌رسد کاربرد توأم و منفرد کودهای زیستی و محلول‌پاشی ۶۰ میلی‌گرم در لیتر نانوسیلیکون به دلیل افزایش شاخص سطح برگ (شکل ۱) چون منجر به افزایش میزان فتوسنترز جاری و سهم این فرایند در عملکرد دانه (جدول ۱۱) شده است از این‌رو سهم انتقال ماده خشک تحت چنین شرایطی کاهش یافته است. همچنین در ترکیب تیماری آبیاری و کودهای زیستی، کمترین سهم فرایند انتقال مجدد ماده خشک در عملکرد دانه (۲۸/۴۶٪) از کاربرد توأم کودهای زیستی و محلول‌پاشی ۶۰ میلی‌گرم در لیتر نانوسیلیکون به دست آمد (جدول ۱۱). به نظر می‌رسد افزایش انتقال ماده خشک در شرایط محدودیت شدید آبی، به دلیل افزایش تقاضای دانه‌های تشکیل‌شده به مواد فتوسنترزی و کاهش سهم فتوسنترز جاری در برآورد این نیاز مخازن (دانه‌ها) باشد. دیگر محققان نیز گزارش کردند که در شرایط تنفس رطب‌تی، میزان انتقال ماده خشک گندم نسبت به تیمار آبیاری کامل افزایش یافت و اظهار داشتند که به هنگام وقوع تنفس خشکی در مرحله ساقه‌روی تا گلدهی، بخش بیشتری از مواد

میزان انتقال مجدد ماده خشک و سهم این فرآیند در عملکرد دانه

مقایسه میانگین‌ها نشان داد که محدودیت شدید آبی موجب افزایش میزان انتقال مجدد ماده خشک (۸۸/۶۱ گرم در مترمربع) نسبت به شرایط آبیاری کامل شد (جدول ۱۰).

مقایسه میانگین اثرات ترکیب تیماری نشان داد که عدم کاربرد کودهای زیستی در شرایط محدودیت شدید آبی بیشترین سهم انتقال مجدد ماده خشک از کل بوته (۵۲/۴۵٪) را به خود اختصاص داد که منجر به افزایش ۹۱ درصدی سهم انتقال مجدد ماده خشک نسبت به کاربرد توأم کودهای زیستی در شرایط آبیاری کامل گردید (جدول ۱۱). از طرفی کاربرد ۶۰ میلی‌گرم در لیتر نانوسیلیکون در شرایط آبیاری کامل سبب کاهش ۴۷ درصدی سهم این فرآیند نسبت به عدم کاربرد نانوسیلیکون در شرایط محدودیت شدید آبی گردید. در شرایط محدودیت شدید آبی، محلول‌پاشی ۶۰ میلی‌گرم در لیتر نانوسیلیکون منجر کاهش ۱۰ درصدی سهم فرایند انتقال مجدد ماده خشک در عملکرد دانه نسبت به عدم

از گیاهان بهخصوص در غلات، در شرایط غیر تنفس بخشی از مواد تولیدی خود در دوران رشد رویشی را که مازاد بر نیاز گیاه است، در ساقه ذخیره می‌کنند و زمانی که گیاه با تنفس-های محیطی روبه‌رو می‌شود، این مواد ذخیره شده در ساقه به دانه و سنبله منتقل شده و تا 30% عملکرد دانه شامل می‌شود (Madani et al., 2010). برخی محققان اظهار داشتند در شرایط خشکی و در مرحله گلدهی افزایش نسبت ماده خشک منتقل شده به ذخیره شده موجب می‌شود تا کاهش عملکرد دانه تا حدی جبران شود (Banisaeidi et al., 2020). از آنجایی که در شرایط کاربرد کودهای زیستی و نانوسیلیکون سهم فتوسنترز جاری افزایش می‌یابد (جدول ۱) ازین‌رو به نظر می‌رسد سهم انتقال مجدد از ساقه و اندام‌های هوایی در دانه کاهش یابد (Yaghoubi Khanghahi et al., 2019).

درواقع کاربرد کودهای زیستی با افزایش شاخص سطح برگ (شکل ۱) و تعدیل اثر ناشی از تنفس خشکی و بهبود فتوسنترز جاری (جدول ۱۱) موجب می‌شود بخش عمدات از عملکرد دانه توسط فتوسنترز جاری تأمین شده و بخش کمتری به انتقال ماده خشک تخصیص یابد. همچنین نتایج ترکیبات تیماری نشان داد که محلول پاشی 60 میلی‌گرم در لیتر نانوسیلیکون در شرایط محدودیت آبی شدید منجر به کاهش 16 درصدی مشارکت ذخایر ساقه در عملکرد دانه در مقایسه با عدم کاربرد نانوسیلیکون در این سطح از آبیاری شد (جدول ۱۱). به نظر می‌رسد سیلیکون با افزایش لایه کوتیکولی برگ و همچنین میزان عمودی شدن برگ‌ها سبب نفوذ بیشتر نور به جامعه گیاهی با افزایش سهم فتوسنترز جاری منجر به کاهش انتقال مجدد ماده خشک شده است (Parsapour et al., 2019).

میزان فتوسنترز جاری و سهم این فرآیند در عملکرد دانه

مقایسه میانگین‌های اثر ترکیب‌های تیماری معنی‌دار شده برای صفات میزان فتوسنترز جاری و سهم این فرآیند در عملکرد دانه گندم نشان داد که کاربرد توأم کودهای زیستی در شرایط محدودیت شدید آبی منجر به افزایش به ترتیب $11/60$ و $30/60$ درصدی میزان فتوسنترز جاری و سهم آن در عملکرد دانه نسبت به عدم کاربرد کودهای زیستی در این سطح از آبیاری شد (جدول ۱۱). همچنین بیشترین فتوسنترز جاری ($256/82$ گرم در مترمربع) و سهم این فرآیند

فتوسنترزی به دانه‌ها انتقال یافته که این منجر به افزایش انتقال ماده خشک در این مرحله می‌شود (Liu et al., 2020). محققین اظهار داشتند که کاربرد سیلیکون می‌تواند به طور معنی‌داری تجمع سیلیکون را در اندام‌های ذرت افزایش داده Mabagala et al., 2020. به نظر می‌رسد کاربرد کودهای زیستی با بهبود فتوسنترز جاری و تعدیل اثر ناشی از تنفس موجب می‌شود تعادل منبع و مخزن تا حدود زیادی حفظ شده و مواد تولیدی منبع بتواند در مخزن مورد استفاده قرار گرفته و سهم فرآیند انتقال مجدد در عملکرد دانه کاهش یابد (Seyed Sharifi, 2018).

میزان انتقال مجدد از ساقه و سهم این فرآیند در عملکرد دانه

مقایسه میانگین‌های اثرات اصلی نشان داد که بیشترین انتقال مجدد از ساقه در شرایط محدودیت شدید آبی ($63/22$ گرم در مترمربع)، عدم کاربرد کودهای زیستی ($70/80$ گرم در مترمربع) و عدم کاربرد نانوسیلیکون ($65/78$ گرم در مترمربع) به دست آمد (جدول ۱۰). کمترین این مقادیر نیز در کاربرد توأم کودهای زیستی ($53/32$ گرم در مترمربع) و 60 میلی‌گرم در لیتر نانوسیلیکون ($60/44$ گرم در مترمربع) در شرایط آبیاری کامل ($32/12$ گرم در مترمربع) به دست آمد (جدول ۱۰). همچنین اثر متقابل ترکیبات تیماری معنی‌دار شده (جدول ۱۱) نشان داد که عدم کاربرد کودهای زیستی در عملکرد دانه ($33/56$) را به خود اختصاص داد که نسبت به کاربرد توأم کودهای زیستی در شرایط آبیاری کامل منجر به افزایش 89 درصدی شده است. از طرفی نتایج ترکیبات تیماری نشان داد که کاربرد توأم کودهای زیستی و محلول پاشی 60 میلی‌گرم در لیتر نانوسیلیکون منجر به کاهش $41/8$ درصدی مشارکت ذخایر ساقه در عملکرد دانه نسبت به عدم کاربرد کودهای زیستی و نانوسیلیکون گردید (جدول ۱۱). درواقع در شرایط مطلوب آبیاری و کاربرد کودهای زیستی و محلول پاشی 60 میلی‌گرم در لیتر نانوسیلیکون به دلیل اینکه فتوسنترز جاری به واسطه شاخص سطح برگ بالاتر (شکل ۱) به مدت زمان طولانی‌تری تداوم می‌یابد تحت چنین شرایطی به دلیل افزایش فتوسنترز جاری در عملکرد دانه موجب می‌شود که میزان انتقال ماده خشک از کل بوته و ساقه به سمت دانه کاهش پیدا کند. در بسیاری

جدول ۱۱. مقایسه میانگین اثرات متقابل فاکتورهای آزمایشی بر سهم فرآیند انتقال مجدد و میزان فتوسنترز جاری گندم

Table 11. Means comparison of the interaction effects of experimental factors on the contribution of the dry matter transfer process

Irrigation× Biofertilizer		سهم انتقال ماده			سهم نسبی میزان
آبیاری×کود زیستی		خشک کل	سهم ذخایر ساقه	میزان فتوسنترز جاری	فتوسنترز جاری
		CDMAG (%)	CSAG (%)	CP(g.m ²)	SSPG (%)
I ₁	B ₀	32.27 ^{def}	19.11 ^{ef}	252.30 ^{bcd}	67.73 ^{abc}
	B ₁	31.33 ^{def}	18.46 ^f	278.77 ^{abc}	68.66 ^{abc}
	B ₂	29.29 ^{ef}	17.74 ^f	280.78 ^{ab}	70.70 ^{ab}
	B ₃	27.33 ^f	17.70 ^f	305.10 ^a	72.66 ^a
I ₂	B ₀	42.00 ^c	29.30 ^{ab}	181.91 ^{de}	57.99 ^d
	B ₁	34.47 ^{de}	26.22 ^{bcd}	192.20 ^{de}	65.52 ^{bc}
	B ₂	32.64 ^{def}	21.64 ^{def}	214.01 ^d	67.35 ^{abc}
	B ₃	31.80 ^{def}	23.83 ^{cde}	274.63 ^c	68.2 ^{abc}
I ₃	B ₀	52.45 ^a	33.56 ^a	160.08 ^e	47.54 ^f
	B ₁	49.50 ^{ab}	33.34 ^a	174.02 ^e	50.50 ^{ef}
	B ₂	43.80 ^{bc}	30.18 ^{ab}	175.87 ^e	56.19 ^{de}
	B ₃	37.90 ^{dc}	27.72 ^{bc}	178.61 ^e	62.09 ^{ed}
Irrigation×Noano-silicon					
آبیاری×نانوسیلیکون					
I ₁	S ₀	31.91 ^{cd}	20.24 ^{ef}	-	68.08 ^{ab}
	S ₁	29.24 ^{cd}	18.17 ^{ef}	-	70.75 ^{ab}
	S ₂	25.91 ^d	17.43 ^f	-	74.08 ^a
I ₂	S ₀	41.21 ^b	28.60 ^{bc}	-	58.78 ^c
	S ₁	34.35 ^c	24.84 ^{cd}	-	65.64 ^b
	S ₂	33.23 ^c	22.31 ^{de}	-	66.77 ^b
I ₃	S ₀	49.19 ^a	34.32 ^a	-	50.80 ^d
	S ₁	44.36 ^{ab}	29.88 ^b	-	55.63 ^{cd}
	S ₂	44.18 ^{ab}	29.41 ^b	-	55.82 ^{cd}
Biofertilizer ×Noano-silicon					
کود زیستی×نانوسیلیکون					
S ₀	B ₀	46.22 ^a	32.31 ^a	148.27 ^d	53.77 ^d
	B ₁	40.16 ^{abc}	25.26 ^{bed}	196.21 ^{bc}	59.83 ^{bed}
	B ₂	34.68 ^{cd}	22.64 ^{bed}	241.79 ^{ab}	65.31 ^{ab}
	B ₃	31.74 ^{cd}	19.53 ^d	247.05 ^a	68.25 ^{ab}
S ₁	B ₀	45.39 ^{ab}	28.57 ^{ab}	176.98 ^{cd}	54.60 ^{cd}
	B ₁	39.04 ^{abc}	24.52 ^{bcd}	214.04 ^{abc}	60.95 ^{bcd}
	B ₂	34.57 ^{cd}	22.51 ^{bcd}	242.90 ^{ab}	65.42 ^{ab}
	B ₃	30.25 ^d	19.37 ^d	248.68 ^a	69.74 ^a
S ₂	B ₀	43.64 ^{ab}	27.82 ^{abc}	186.41 ^{cd}	56.34 ^{cd}
	B ₁	36.74 ^{bed}	23.62 ^{bed}	237.69 ^{ab}	63.25 ^{abc}
	B ₂	33.86 ^{cd}	21.56 ^{cd}	244.44 ^a	66.13 ^{ab}
	B ₃	28.46 ^d	18.81 ^d	256.82 ^a	71.53 ^a

میانگین‌های دارای حروف مشترک در هر ستون اختلاف معنی داری با یکدیگر در سطح احتمال خطای پنج درصد بر اساس آزمون LSD ندارند.

B₀, B₁, B₂ و B₃: به ترتیب عدم تلقیق، تلقیق با قارچ، تلقیق با باکتری و تلقیق تأم قارچ و باکتری؛ S₀, S₁ و S₂: به ترتیب شاهد، ۳۰ و ۶۰ میلی‌گرم در لیتر نانوسیلیکون

Means in each column followed by similar letter(s) are not significantly different at 5% probability level, using LSD test.

B₀, B₁, B₂ and B₃: Non-inoculated, Inoculated with *Mycorrhiza*, Inoculation with bacteria and Co-inoculation of *Mycorrhiza* and bacteria; S₀, S₁ and S₂: 0, 30 and 60 mg m⁻²

از مرحله گردهافشانی وابسته است. این منبع به طور معمول توسط پیری طبیعی برگ و بروز تنش‌های مختلف محدود می‌شود، در حالی‌که در همین زمان تقاضا برای مواد فتوسنترزی جهت پر شدن دانه‌ها و تقاضا برای تنفس نگهداری شدن دانه‌ها، به جذب مؤثر نور به وسیله سطح سبز گیاه پس

(۶۰٪/۷۱/۵۳) از کاربرد تأم کودهای زیستی و محلول پاشی میلی‌گرم در لیتر نانوسیلیکون به دست آمد (جدول ۱۱).

فتوسنترز جاری به عنوان یکی از مهم‌ترین منابع کربن برای پر شدن دانه‌ها، به جذب مؤثر نور به وسیله سطح سبز گیاه پس

شده و در این رقابت، گیاه سهم بیشتری از مواد فتوسنتری را به ریشه و سهم کمتری را به بخش هوایی از جمله ساقه اختصاص می‌دهد و همین امر موجب کاهش ارتفاع بوته می‌شود (Arafa et al., 2021). از طرفی، کاربرد تؤام کودهای زیستی نیز موجب افزایش ۱۱ درصدی ارتفاع گیاه نسبت به عدم کاربرد کودهای زیستی شد (جدول ۱۰). در این راستا برخی محققین بیان کردند که علت اصلی افزایش ارتفاع بوته در تلقیح بذر با کودهای زیستی، افزایش جذب مواد غذایی توسط گیاه، بهبود خصوصیات خاک نظیر محتوای ماده آلی و افزایش محتوای نیتروژن قابل دسترس خاک است. درواقع، در دسترس بودن آب و عناصر غذایی ضروری گیاه از طریق افزایش تعداد گرهها و طول میانگرهها، ارتفاع بوته را تحت تأثیر قرار می‌دهند (El-Sawah et al., 2021).

تعداد دانه در سنبله

نتایج تجزیه واریانس نشان داد اثر سطوح آبیاری، کودهای زیستی و نانوسیلیکون بر تعداد دانه در سنبله به ترتیب در سطح احتمال یک و پنج درصد معنی‌دار شد (جدول ۱۲). کمترین تعداد دانه در سنبله (۳۲/۱۴) در شرایط محدودیت شدید آبی و بیشترین آن (۴۰/۷۰) در شرایط آبیاری کامل به دست آمد. درواقع خشکی شدید منجر به کاهش ۲۱/۰۳ درصدی تعداد دانه در سنبله نسبت به آبیاری کامل شد (جدول ۱۰). از آنجاکه در خلال فاز طویل شدن ساقه و سنبله اجزاء گلچه‌ها نیز کامل می‌شوند و با ظهور برگ پرچم تقسیمات میوزی دانه‌های گرده شروع می‌شود، بنابراین احتمال می‌رود که تنش واردہ با صدمه به دانه‌های گرده و عدم امکان تلقیح مادگی ضمن پوکی دانه‌ها موجب می‌شود تعداد دانه‌های تشکیل شده در سنبله نیز کاهش یابد (Dehghan et al., 2017). ولی کاربرد کودهای زیستی و محلول‌پاشی ۶۰ میلی‌گرم در لیتر نانوسیلیکون سبب افزایش تعداد دانه در سنبله شد (جدول ۱۰). به نظر می‌رسد کاربرد کودهای زیستی با افزایش فعالیت اسید فسفاتاز و آکالیلین فسفاتاز در اطراف ریشه‌ها منجر به افزایش فسفر در خاک و جذب بیشتر نیتروژن، روی، مس و آهن می‌شود (Hasanpour et al., 2014). نتایج مشابهی نیز مبنی بر بهبود تعداد دانه در سنبله گیاه جو با کاربرد نانوسیلیکون در Ghorbanian et (al., 2017)

زیست‌توده نیز افزایش می‌یابد (Maydup et al., 2014). در مطالعه حاضر، اثر ترکیب تیماری گیاهان تلقیح شده با کودهای زیستی در شرایط آبیاری کامل و همچنین اثر متقابل کاربرد کودهای زیستی و نانوسیلیکون، دارای بیشترین میزان فتوسنتر جاری بوده که در این صورت منجر به کاهش میزان انتقال مجدد ماده خشک گردید. درواقع این بالا بودن فتوسنتر جاری را می‌توان به تأثیر مثبت کودهای زیستی و نانوسیلیکون در شرایط آبیاری کامل بر گسترش سطح برگ نسبت داد. نتایج اثر ترکیب تیماری نشان داد که محلول‌پاشی ۶۰ میلی‌گرم در لیتر نانوسیلیکون در شرایط آبیاری کامل منجر به افزایش ۴۶ درصدی سهم فتوسنتر جاری در عملکرد دانه نسبت به عدم کاربرد نانوسیلیکون در شرایط محدودیت شدید آبی شد (جدول ۱۱). به نظر می‌رسد در شرایط آبیاری و کاربرد تؤام کودهای زیستی با ۶۰ میلی‌گرم در لیتر نانو سیلیکون به دلیل افزایش شاخص سطح برگ (شکل ۱)، منجر به بهبود فتوسنتر جاری و افزایش سهم نسبی فتوسنتر جاری در عملکرد شده است. بهنحوی که گزارش شده است در شرایط مطلوب آبیاری، به دلیل تأخیر در پیری برگ‌ها میزان و سهم فتوسنتر جاری نیز افزایش یافته و همچنین منجر به کاهش مشارکت مواد خشک ذخیره‌شده در تولید دانه می‌شود (Tatar et al., 2016). محققین در پژوهش‌های خود اظهار داشتند که تلفیق باکتری‌های محرك رشد و فارج مایکروزیما، به دلیل افزایش شاخص سطح برگ، میزان فتوسنتر و مواد اندوخته‌ای در گیاه بالا می‌رود (Naseri et al., 2017).

ارتفاع بوته

نتایج تجزیه واریانس نشان داد اثر سطوح آبیاری و کودهای زیستی بر ارتفاع بوته به ترتیب در سطح احتمال یک و پنج درصد معنی‌دار شد (جدول ۱۲). مقایسه میانگین‌ها نشان داد که محدودیت شدید آبی منجر به کاهش ۱۴ درصدی ارتفاع بوته نسبت به شرایط آبیاری کامل شد. به طوری که، بیشترین و کمترین ارتفاع بوته به ترتیب با میانگین ۵۴/۹۸ و ۵۶/۷۱ سانتی‌متر از آبیاری کامل و محدودیت شدید آبی به دست آمد (جدول ۱۰). تنش خشکی، با اختلال در فرآیندهای فتوسنتری و کاهش تولید مواد پرورده به بخش‌های در حال رشد، مانع از دستیابی به پتانسیل ژنتیکی کامل گیاه می‌گردد. بعلاوه افزایش تنش خشکی در زمان ارتفاع‌گیری گیاه، سبب افزایش رقابت برای جذب آب بین بخش هوایی و زیرزمینی

جدول ۱۲. تجزیه واریانس (میانگین مربعات) عملکرد و اجزای عملکرد گندم متاثر از فاکتورهای آزمایشی

Table 12. Analysis of variance (Mean squares) in wheat yield and yield components as influenced by experimental factors

S.O.V		درجه آزادی df	منابع تغییر	ارتفاع بوته Plant height	دانه در سنبله Seeds in the spike	تعداد سنبلاچه Number of spiklets	وزن هزار دانه WTS	شاخص برداشت Harvest index	عملکرد دانه Grain yield
	تکرار Replication	2	آبیاری	72.95	300.14	18.78	25.15	1456.71	919674.88
	Irrigation (I)	2	آبیاری	688.86**	678.67**	16.95**	216.95**	383.40**	10748405.21**
	Biofertilizer (B)	3	کود زیستی	195.76*	401.91**	23.38*	347.15**	62.49**	7176908.25**
	Nano-Si (Si)	2	نانوسیلیکون	28.05	48.87*	3.18*	15.79	67.60**	5809863.99**
	BxI	6	کودزیستی×آبیاری	26.41	22.54	1.002	8.86	28.20*	480148.99**
	Si×I	4	نانوسیلیکون×آبیاری	12.03	15.79	1.43	4.21	37.17*	76486.35
	Si×B	6	نانوسیلیکون×کودزیستی	23.85	14.32	1.008	6.61	76.26**	424995.53**
	Si×BxI	12	نانوسیلیکون×کود زیستی×آبیاری	26.29	9.50	0.552	2.23	24.36*	130796.09**
Error	اشتباه آزمایشی	70	C.V (%)	52.90	12.42	1.072	8.03	11.95	58836.63
	ضریب تغییرات (%)	-		12.22	9.56	7.11	7.32	14.90	8.74

* و ** به ترتیب بیانگر غیر معنی دار و معنی دار در سطح ۵ و ۱٪

* and ** indicating significant at 5 and 1% level, respectively

ترتیب منجر به افزایش ۱۶٪ و ۸٪ درصدی تعداد سنبلاچه نسبت به عدم کاربرد کودهای زیستی و نانوسیلیکون شد (جدول ۱۰). به نظر می‌رسد استفاده از کودهای زیستی با کمک به توسعه ریشه‌گیاه در خاک، جذب آب و مواد غذایی را نسبت به گیاهان تلقیح نشده افزایش می‌دهد و همین امر موجب می‌شود روی تعداد سنبلاچه تأثیر معنی داری داشته باشد. همچنین سیلیکون از طریق افزایش مدت ماندگاری گلچه‌ها روی سنبله و عدم سقط آن‌ها، موجب افزایش تعداد سنبلاچه‌های بارور شده است. محققین اظهار داشتند که تلقیح بذر با کودهای زیستی سبب افزایش تعداد سنبلاچه در سنبله گردیده و موجب می‌شود که اثرات منفی حاصل از تنش نیز جبران شود (Naili et al., 2018).

تعداد سنبلاچه

تجزیه واریانس نشان داد اثر سطوح آبیاری، کودهای زیستی و نانوسیلیکون بر تعداد سنبلاچه به ترتیب در سطح احتمال یک و پنج درصد معنی دار شد (جدول ۱۲). بیشترین تعداد سنبلاچه (۱۵/۱۶) در شرایط آبیاری کامل به دست آمد و در شرایط خشکی شدید با ۹/۷۷٪ افت، کمترین تعداد سنبلاچه (۱۳/۸۱) مشاهده شد (جدول ۱۰). تنش خشکی سبب کاهش قابلیت حیات گلچه‌ها شده و به دلیل اینکه پس از ظهور سنبلاچه انتهایی تا آخر برداشت هیچ‌گونه سنبلاچه‌ای تمایز پیدا نمی‌کند، بنابراین هرگونه تنش واردۀ در این مرحله موجب کاهش تعداد سنبلاچه می‌شود. گزارش شده است که مرحله ثبیت تعداد کل سنبلاچه در سنبله از مرحله برجستگی دوگانه تا تمایز سنبلاچه انتهایی نیز تعیین و سرنوشت تعداد سنبلاچه در سنبله در پایان مرحله تمایز سنبلاچه انتهایی مصادف با ابتدای طویل شدن ساقه تعیین می‌شود (Sangtarash, 2010). از طرفی کاربرد توأم کودهای زیستی و محلول‌پاشی ۳۰ میلی‌گرم در لیتر نانوسیلیکون به

وزن هزار دانه

نتایج تجزیه واریانس نشان داد اثر سطوح آبیاری و کودهای زیستی در سطح احتمال یک درصد معنی دار شد (جدول ۱۲). از آنجاکه وزن هزار دانه بیشتر تحت تأثیر ژنتوپ و محیط قرار

اثر سه گانه سطوح آبیاری، کودهای زیستی و نانو سیلیکون نشان داد که در شرایط آبیاری کامل، عدم کاربرد کودهای زیستی و نانو سیلیکون باعث کاهش ۳۸ درصدی شاخص برداشت نسبت به کاربرد کودهای زیستی و محلول پاشی ۳۰ میلی گرم در لیتر نانو سیلیکون شد (شکل ۳). از طرفی محدودیت آبی بر شاخص برداشت تأثیر منفی داشته، ولی کاربرد کودهای زیستی و نانو سیلیکون منجر به بهبود شاخص برداشت شد. بهنحوی که کاربرد توأم کودهای زیستی و محلول پاشی ۳۰ میلی گرم در لیتر نانو سیلیکون در شرایط محدودیت ملایم آبی، بیشترین شاخص برداشت را نسبت به عدم کاربرد کودهای زیستی و نانو سیلیکون در این سطح از آبیاری داشت (شکل ۳). از طرفی با محدودیت های شدید آبی، افت شدید در شاخص برداشت مشاهده شد. طوری که کمترین شاخص برداشت (۱۳/۵۱٪) از عدم کاربرد کودهای زیستی و نانو سیلیکون در شرایط محدودیت شدید آبی به دست آمد که نسبت به کاربرد کودهای زیستی و محلول پاشی ۳۰ میلی گرم در لیتر نانو سیلیکون در این سطح از آبیاری از کاهش ۴۲ درصدی و نسبت به آبیاری کامل از کاهش ۵۹ درصدی برخوردار بود (شکل ۳). بیان شده است تجمع مواد فتوسنتزی در اندام رویشی و انتقال آنها به اندام های زایشی و دانه یکی از فرآیندهای مؤثر در تعیین عملکرد محصولات زراعی است و تنفس خشکی موجب کاهش عملکرد، ماده خشک تولیدی و درنهایت کاهش شاخص برداشت می شود (Boussakouran et al., 2019). از طرفی محلول پاشی میلی گرم در لیتر نانو سیلیکون سبب بهبود شاخص برداشت در شرایط تنفس خشکی گردید که با غلظت ۶۰ میلی گرم در لیتر اختلاف غیرمعنی داری را نشان داد. در این راستا گزارش شده است که جذب سیلیکون موجب سخت و سیلیسی شدن بخش هوایی گیاه شده و امکان تحمل تنفس در گیاه را افزایش می دهد. همچنین با کاهش مرگومیر گلچه ها موجب افزایش تعداد دانه در سنبله شده و از این طریق شاخص برداشت را افزایش می دهد (Parsapour et al., 2019). همچنین پژوهش ها نشان داده است که تأثیر کودهای زیستی به صورت منفرد و توأم به دلیل انتقال سریع نیتروژن و فسفر از اندام هوایی و یا خاک به دانه، منجر به افزایش شاخص برداشت در شرایط محدودیت آبی شده است (Sharma et al., 2021).

می گیرد، بنابراین شرایط محیطی پس از مرحله تشکیل دانه تأثیر زیادی بر وزن دانه خواهد داشت. بهنحوی که خشکی ملایم و شدید منجر به کاهش به ترتیب ۷/۷٪ و ۱۲٪ درصدی وزن هزار دانه نسبت به آبیاری کامل شد (جدول ۱۰). بخشی از کاهش وزن هزار دانه می تواند ناشی از کاهش میزان فتوسنتز جاری در شرایط محدودیت شدید آبی باشد (جدول ۱۱). برخی محققان کاهش وزن هزار دانه را به تسريع پیری Mondal et al., 2021 به نظر می رسد کاربرد کودهای زیستی به دلیل تولید هورمون های محرك رشد و تأمین عناصر غذایی از جمله نیتروژن، فسفر منجر به افزایش وزن هزار دانه شده است. بهنحوی که، کاربرد توأم کودهای زیستی سبب افزایش ۲۳ درصدی وزن هزار دانه نسبت به عدم کاربرد کودهای زیستی شد (جدول ۱۰).

شاخص برداشت

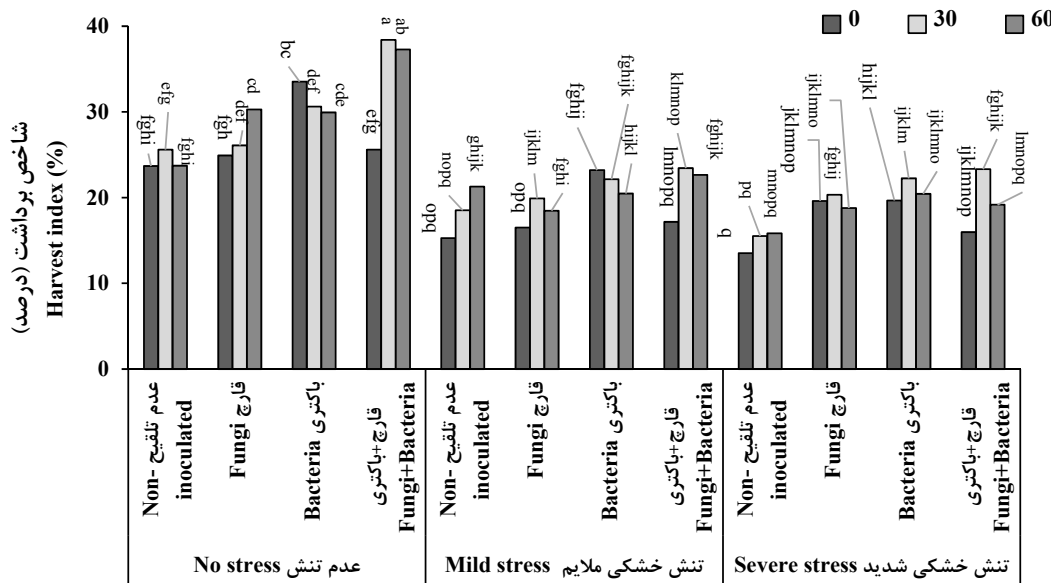
اثر ترکیب تیماری هر سه عامل آبیاری در کودهای زیستی و نانو سیلیکون بر شاخص برداشت به احتمال پنج درصد معنی دار بود (جدول ۱۲). نتایج برش دهی اثرات سه گانه فاکتورهای آرمايشی نشان داد که در همه سطوح آبیاری تفاوت معنی داری وجود داشت (جدول ۱۳).

جدول ۱۳. برش دهی اثرات سه گانه آبیاری × نانو سیلیکون × کودهای زیستی بر عملکرد دانه و شاخص برداشت

Table 13. Slicing of triple effects of irrigation×bio-fertilizers× nano-silicon on grain yield and harvest index

Irrigation levels	Df	Grain yield	Harvest index	شاخص برداشت	عملکرد دانه درجه
				آبیاری کامل	آزادی سطوح آبیاری
Full irrigation	11	1519152**	78.22**		
	11	1165003**	30.79**		
Moderate stress				تنفس ملایم	
	11	993738**	26.94**	تنفس شدید	
severe stress					٪ بیانگر معنی داری در سطح ۱٪

** indicate significant at 0.01 probability levels



شکل ۳. اثرات سه‌گانه سطوح آبیاری × کودهای زیستی × نانوسیلیکون بر شاخص برداشت

Figure 3. Triple effect of irrigation levels × bio-fertilizer × nano silicon on harvest index

پیری سریع برگ‌ها (کاهش قدرت منبع) و کاهش قدرت مخزن باشد (Pequeno et al., 2021). از طرفی افزایش عملکرد دانه در شرایط آبیاری کامل را می‌توان به دلیل افزایش سطح برگ به واسطه کاربرد کودهای زیستی به صورت توأم یا منفرد را نسبت داد که به نظر می‌رسد این افزایش شاخص سطح برگ به دلیل افزایش فتوستنتز جاری منجر به بهبود عملکرد شده است (Kheirizadeh Arogh et al., 2015). همچنین بخشی از اثر سودمند کاربرد نانوسیلیکون را می‌توان به افزایش شاخص سطح برگ (شکل ۱) و تعداد دانه در سنبله (جدول ۱۰) نسبت داد. در این راستا اثر مثبت نانو سیلیکون بر روی عملکرد باقلا در شرایط تنش خشکی توسط محققین گزارش شده است و اظهار داشتند که نانوسیلیکون سبب افزایش عملکرد دانه در شرایط تنش نسبت به عدم کاربرد آن شده است (Desoky et al., 2021).

نتیجه‌گیری نهایی

پژوهش حاضر نشان داد که در شرایط محدودیت آبی حضور نانوسیلیکون و کودهای زیستی به صورت توأم و منفرد نقش چشمگیری در بهبود ارتفاع بوته، شاخص سطح برگ، زیست‌توده کل، عملکرد دانه و فتوستنتز جاری، میزان انتقال ماده خشک و سهم این فرآیند در عملکرد دانه داشت. درواقع خشکی منجر به افزایش میزان انتقال مجدد ماده خشک از

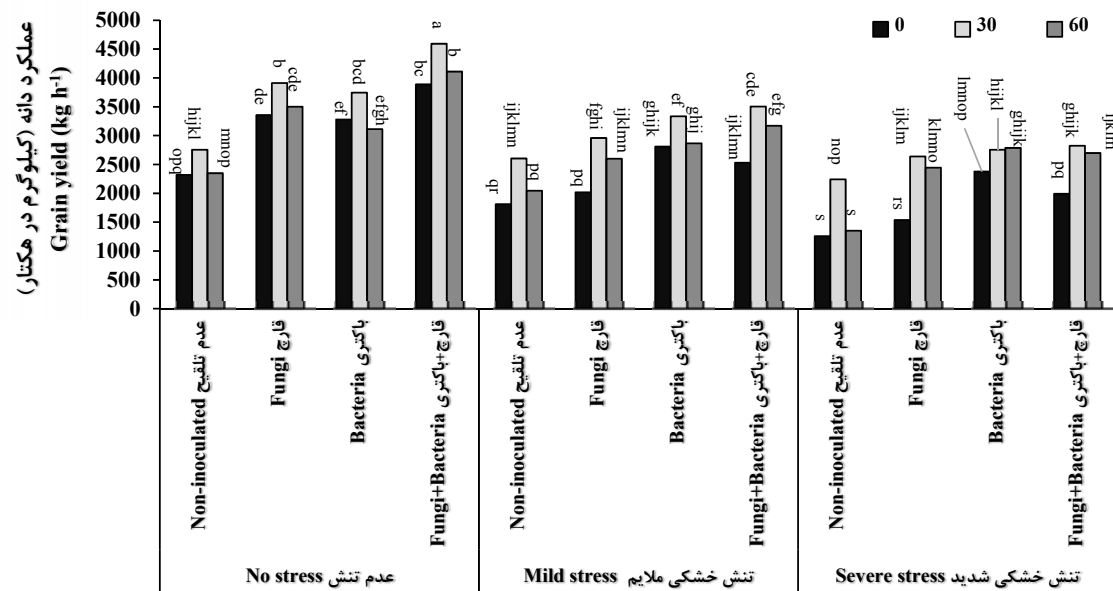
عملکرد دانه

اثر ترکیب تیماری هر سه عامل آبیاری در کودهای زیستی و نانوسیلیکون بر عملکرد دانه در سطح احتمال یک درصد معنی‌دار بود (جدول ۱۲). همچنین نتایج برش‌دهی اثرات سه‌گانه فاکتورهای آزمایشی تفاوت معنی‌داری بین سطوح آبیاری نشان داد (جدول ۱۳). نتایج نشان داد که بیشترین عملکرد دانه از کاربرد توأم کودهای زیستی و محلول‌پاشی ۳۰ میلی‌گرم در لیتر نانوسیلیکون در شرایط آبیاری کامل به دست آمد. همچنین حداقل عملکرد دانه در شرایط محدودیت ملایم آبی نیز، از کاربرد توأم کودهای زیستی و ۳۰ میلی‌گرم در لیتر نانوسیلیکون حاصل شد. به بیانی دیگر در سطح ثابت از شرایط محدودیت ملایم آبی، عدم کاربرد کودهای زیستی و نانوسیلیکون به کاهش ۴۷/۷۰ درصدی عملکرد دانه نسبت به کاربرد توأم کودهای زیستی و ۳۰ میلی‌گرم در لیتر نانوسیلیکون منجر شد (شکل ۴).

از طرفی با توجه به افزایش شدت تنش مشخص گردید که عدم کاربرد کودهای زیستی و نانوسیلیکون در شرایط محدودیت شدید آبی، موجب کاهش ۵۵ درصدی عملکرد دانه نسبت به کاربرد ۳۰ میلی‌گرم در لیتر محلول‌پاشی نانوسیلیکون و تلخیق توأم کودهای زیستی در این سطح از آبیاری شد (شکل ۴). به نظر می‌رسد در شرایط تنش خشکی دلیل اصلی کاهش عملکرد دانه، کاهش سرعت فتوستنتز و

در لیتر نانو سیلیکون در دو مرحله ساقه دهی و مرحله قبل از چکمه ای شدن می تواند مورد استفاده قرار گیرد.

کل بوته و ساقه گردید. به نظر می رسد برای کاهش اثر منفی محدودیت آبی و بهبود عملکرد دانه گندم تلقیح بذر با کودهای زیستی به صورت توأم و محلول پاشی ۳۰ میلی گرم



شکل ۴. اثرات سه گانه سطوح آبیاری×کودهای زیستی×نانو سیلیکون بر عملکرد دانه

Figure 4. Triple effect of irrigation levels × bio-fertilizer × nano silicon on grain yield

منابع

- Al-juthery, H.W.A., Al-taei, R.A.H.G., Al-Obaidi, Z.H.H., Ali, E.A.H.M. and NAI-Shami, Q.M., 2019. Influence of foliar application of some nano-fertilizers in growth and yield of potato under drip irrigation. In Journal of Physics. 1294 (9), p. 092024. <https://doi.org/10.1088/1742-6596/1294/9/092024>
- Arafa, S.A., Attia, K.A., Niedbała, G., Piekutowska, M., Alamery, S., Abdelaal, K., Alateeq, T.K., AM Ali, M., Elkelish, A. and Attallah, S.Y., 2021. Seed Priming Boost Adaptation in Pea Plants under Drought Stress. Plants, 10, p.2201. <https://doi.org/10.3390/plants10102201>
- Azizi, S., Kouchaksaraei, M.T., Hadian, J., Abad, A.R.F.N., Sanavi, S.A.M.M., Ammer, C. and Bader, M.K.F., 2021. Dual inoculations of arbuscular mycorrhizal fungi and plant growth-promoting rhizobacteria boost drought resistance and essential oil yield of common myrtle. Forest Ecology and Management, 497,
- p.119478. <https://doi.org/10.1016/j.foreco.2021.119478>
- Bahamin, S., Koocheki, A., Nassiri Mahallati, M. and Behashti, S.A., 2021. Effect of nitrogen and phosphorus fertilizers on yield and nutrient efficiency indices in maize under drought stress. Environmental Stresses in Crop Sciences, 14, 675-690. [In Persian]. <https://doi.org/10.22077/escs.2020.3095.1793>
- Banerjee, A., Singh, A., Sudarshan, M. and Roychoudhury, A., 2021. Silicon nanoparticle-pulsing mitigates fluoride stress in rice by fine-tuning the ionomic and metabolomic balance and refining agronomic traits. Chemosphere, 262, p.127826. <https://doi.org/10.1016/j.chemosphere.2020.127826>
- Banisaeidi, A.K. and Motamedi, M., 2020. The effect of the amount nitrogen applied on grain yield and dry matter remobilization of maize (*Zea mays L.*) in drought stress conditions.

- Journal of Plant Ecophysiology, 12, 68-77.
<https://doi.org/10.1007/s11738-011-0901-y>
- Boussakouran, A., Sakar, E.H., El Yamani, M. and Rharrabti, Y., 2019. Morphological traits associated with drought stress tolerance in six Moroccan durum wheat varieties released between 1984 and 2007. Journal of Crop Science and Biotechnology, 22, 345-353.
<https://doi.org/10.1007/s12892-019-0138-0>
- Çakmakçı, R., Erat, M., Erdoğan, Ü. and Dönmez, M.F., 2007. The influence of plant growth-promoting rhizobacteria on growth and enzyme activities in wheat and spinach plants. Journal of Plant Nutrition and Soil Science, 170, 288-295.
<https://doi.org/10.1002/jpln.200625105>
- Dehghan, M., Balouchi, H.R., Yadavi, A.R. and Safikhani, F., 2017. Effect of foliar application of brassinolide on grain yield and yield components of bread wheat (*Triticum aestivum* L.) cv. Sirvan under terminal drought stress conditions. Iranian Journal of Crop Sciences, 19, 40-56. [In Persian].
- Desoky, E.S.M., Mansour, E., El-Sobky, E.S.E., Abdul-Hamid, M.I., Taha, T.F., Elakkad, H.A., Arnaout, S.M., Eid, R.S., El-Tarably, K.A. and Yasin, M.A., 2021. Physio-biochemical and agronomic responses of faba beans to exogenously applied nano-silicon under drought stress conditions. Frontiers in Plant Science, 12.
<https://doi.org/10.3389/fpls.2021.637783>
- El-Sawah, A.M., El-Keblawy, A., Ali, D.F.I., Ibrahim, H.M., El-Sheikh, M.A., Sharma, A., Alhaj Hamoud, Y., Shaghaleh, H., Breistic, M., Skalicky, M. and Xiong, Y.C., 2021. Arbuscular mycorrhizal fungi and plant growth-promoting rhizobacteria enhance soil key enzymes, plant growth, seed yield, and qualitative attributes of guar. Agriculture, 11, p.194.
<https://doi.org/10.3390/agriculture11030194>
- Ghorbanian, H., Janmohammadi, M., Ebadi-Segherloo, A. and Sabaghnia, N., 2017. Genotypic response of barley to exogenous application of nanoparticles under water stress condition. In Annales Universitatis Mariae Curie-Sklodowska, sectio C-Biologia. 72 (2).
<https://doi.org/10.17951/c.2017.72.2.15-27>
- Gong, D., Zhang, X., Yao, J., Dai, G., Yu, G., Zhu, Q., Gao, Q. and Zheng, W., 2021. Synergistic effects of bast fiber seedling film and nano-silicon fertilizer to increase the lodging resistance and yield of rice. Scientific Reports, 11, 1-8.
<https://doi.org/10.1038/s41598-021-92342-5>
- Hanaka, A., Ozimek, E., Reszczyńska, E., Jaroszuk-Ścisł, J. and Stolarz, M., 2021. Plant Tolerance to Drought Stress in the Presence of Supporting Bacteria and Fungi: An Efficient Strategy in Horticulture. Horticulturae, 7, p.390.
<https://doi.org/10.3390/horticulturae7100390>
- Hasanpour, J. and Zand, B., 2014. Effect of wheat (*Triticum aestivum* L.) seed inoculation with bio-fertilizers on reduction of drought stress damage. Iranian Journal of Seed Sciences and Research, 1, 1-12. [In Persian].
- Hataminia, P., Abbasi, N. and Zarea, M.J., 2020. Quantity and quality yield of durum wheat under the impact of growth promoting bacteria in rain-fed and supplementary irrigation conditions. Iranian Dryland Agronomy Journal, 8, 121-139.
<https://doi.org/10.22092/idaj.2019.120533.200>
- Hattori, T., Inanaga, S., Araki, H., An, P., Morita, S., Luxová, M. and Lux, A., 2005. Application of silicon enhanced drought tolerance in *Sorghum bicolor*. Physiologia Plantarum, 123, 459-466.
<https://doi.org/10.1111/j.1399-3054.2005.00481.x>
- Kheirizadeh Arogh, E., Sharifi, R., Sedghi, M. and Barmaki, M., 2015. Effects of biofertilizers and nano zinc oxide on remobilization and some growth indices of triticale under water limitation conditions. CPJ, 7, 37-55. [In Persian].
<https://doi.org/10.22124/cr.2022.22374.1726>
- Liu, Y., Zhang, P., Li, M., Chang, L., Cheng, H., Chai, S. and Yang, D., 2020. Dynamic responses of accumulation and remobilization of water soluble carbohydrates in wheat stem to drought stress. Plant Physiology and Biochemistry, 155, 262-270.
<https://doi.org/10.1016/j.plaphy.2020.07.024>
- Luo, Y., Tang, Y., Zhang, X., Li, W., Chang, Y., Pang, D., Xu, X., Li, Y. and Wang, Z., 2018. Interactions between cytokinin and nitrogen contribute to grain mass in wheat cultivars by regulating the flag leaf senescence process. The Crop Journal, 6, 538-551.
<https://doi.org/10.1016/j.cj.2018.05.008>
- Mabagala, F.S., Geng, Y., Cao, G., Wang, L., Wang, M. and Zhang, M., 2020. Silicon accumulation, partitioning and remobilization in spring maize (*Zea mays* L.) under silicon

- supply with straw return in Northeast China. Journal of Plant Nutrition, 44, 1498-1514. <https://doi.org/10.1080/01904167.2020.1867576>
- Madani, A., Rad, A.S., Pazoki, A., Nourmohammadi, G. and Zarghami, R., 2010. Wheat (*Triticum aestivum* L.) grain filling and dry matter partitioning responses to source: sink modifications under postanthesis water and nitrogen deficiency. Acta Scientiarum. Agronomy, 32, 145-151. <https://doi.org/10.4025/actasciagron.v32i1.6273>
- Maydup, M.L., Antonietta, M., Graciano, C., Guiamet, J.J. and Tambussi, E.A., 2014. The contribution of the awns of bread wheat (*Triticum aestivum* L.) to grain filling: Responses to water deficit and the effects of awns on ear temperature and hydraulic conductance. Field Crops Research, 167, 102-111. <https://doi.org/10.1016/j.fcr.2014.07.012>
- Mondal, S., Sallam, A., Sehgal, D., Sukumaran, S., Farhad, M., Navaneetha Krishnan, J., Kumar, U. and Biswal, A., 2021. Advances in Breeding for Abiotic Stress Tolerance in Wheat. In Genomic Designing for Abiotic Stress Resistant Cereal Crops, p.71-103. https://doi.org/10.1007/978-3-030-75875-2_2
- Moradi, L., Siosemardeh, A., Sohrabi, Y., Bahramnejad, B. and Hosseinpanahi, F., 2022. Dry matter remobilization and associated traits, grain yield stability, N utilization, and grain protein concentration in wheat cultivars under supplemental irrigation. Agricultural Water Management, 263, p.107449. <https://doi.org/10.1016/j.agwat.2021.107449>
- Naili, F., Neifar, M., Elhidri, D., Cherif, H., Bejaoui, B., Aroua, M., Bejaoui, Z., Abassi, M., Mguiz, K., Chouchane, H. and Ouzari, H.I., 2018. Optimization of the effect of PGPR-based biofertilizer on wheat growth and yield. Biom. Biometrics and Biostatistics International Journal. 7 (3), pp. 226-232. <https://doi.org/10.15406/bbij.2018.07.00213>
- Namjoyan, S., Sorooshzadeh, A., Rajabi, A. and Aghaalikhani, M., 2020. Nano-silicon protects sugar beet plants against water deficit stress by improving the antioxidant systems and compatible solutes. Acta Physiologae Plantarum, 42, 1-16. <https://doi.org/10.1007/s11738-020-03137-6>
- Naseri, R., Barary, M., Zarea, M.J., Khavazi, K. and Tahmasebi, Z., 2017. Effect of plant growth promoting bacteria and Mycorrhizal fungi on growth and yield of wheat under dryland conditions. Journal of Soil Biology, 5, 49-66. [In Persian]. <https://doi.org/10.22092/sbj.2017.113121>
- Nazeri, P., Khashan, A., Khavazi, K., Ardakani, M.R. and Mirakhori, M., 2012. Effect of use microbial zinc granulated phosphorous bio fertilizer on growth Indices of bean. Journal of Agriculture and plant breeding. 8, 111-126. [In Persian]. <https://doi.org/10.22069/ejsms.2018.14172.1785>
- Parsapour, O., Bakhshandeh, A., Gharineh, M.H., Feisi, H. and Moradi Telavat, M.R., 2019. The effect of foliar application of nano- and bulk silicon dioxide particles on grain yield and redistribution of dry matter in wheat under drought stress. Environmental Stresses in Crop Sciences, 12, 377-388. [In Persian]. <https://doi.org/10.22077/escs.2019.1191.1244>
- Pequeno, D.N., Hernandez-Ochoa, I.M., Reynolds, M., Sonder, K., MoleroMilan, A., Robertson, R.D., Lopes, M.S., Xiong, W., Kropff, M. and Asseng, S., 2021. Climate impact and adaptation to heat and drought stress of regional and global wheat production. Environmental Research Letters, 16, p.054070. <https://doi.org/10.1088/1748-9326/abd970>
- Rao, D.S., Raghavendra, M., Gill, P., Madan, S. and Munjal, R., 2022. Effect of drought stress on phenological and yield attributes in Wheat (*Triticum aestivum* L.). Journal of Eco-friendly Agriculture, 17, 65-71. <http://dx.doi.org/10.5958/2582-2683.2022.00014.4>
- Sangtarash, M.H., 2010. Responses of different wheat genotypes to drought stress applied at different growth stages. Pakistan journal of biological sciences: PJBS, 13, 114-119. <https://doi.org/10.3923/pjbs.2010.114.119>
- Seyed Sharifi, R. and Gholinejad, E., 2021. Evaluation of agronomic and morphophysiological traits of crops. Mohaghegh Ardabili university press. Number page 410.
- Seyed Sharifi, R. and Nazarly, H., 2013. Effects of seed priming with plant growth promoting rhizobacteria (PGPR) on grain yield, fertilizer use efficiency and dry matter remobilization of sunflower (*Helianthus annus* L.) with various levels of nitrogen fertilizer. Journal of

- Agricultural Science and Sustainable Production. 23, 29-45. [In Persian].
- Seyed Sharifi, R., 2018. Effects of uniconazole and bio fertilizers on grain filling period and contribution of remobilization in grain yield of wheat under different moisture regimes in greenhouse condition. Environmental Stresses in Crop Sciences, 11, 515-531. [In Persian]. <https://doi.org/10.22077/escs.2018.764.1148>
- Shao, H.B., Chu, L.Y., Jaleel, C.A. and Zhao, C.X., 2008. Water-deficit stress-induced anatomical changes in higher plants. Comptes rendus biologies, 331, pp.215-225. <https://doi.org/10.1016/j.crvi.2008.01.002>
- Sharma, M., Delta, A.K. and Kaushik, P., 2021. Glomus mosseae and Pseudomonas fluorescens Application Sustains Yield and Promote Tolerance to Water Stress in *Helianthus annuus* L. Stresses, 1 (4), 305-316. <https://doi.org/10.3390/stresses1040022>
- Tatar, Ö. Brück, H. and Asch, F.O.L.K.A.R.D., 2016. Photosynthesis and remobilization of dry matter in wheat as affected by progressive drought stress at stem elongation stage. Journal of agronomy and crop science, 202, 292-299. <https://doi.org/10.1111/jac.12160>
- Vosoghi Rad, M., Jami Moeini, M., Taherian, M. and Armin, M., 2022. Accumulation and remobilization of assimilates in different genotypes of durum wheat under terminal drought stress. Journal of Crop Science and Biotechnology, 25, 199-214. <https://doi.org/10.1007/s12892-021-00123-3>
- Wangiyana, W., Aryana, I.G.P.M. and Dulur, N.W.D., 2021. Mycorrhiza biofertilizer and intercropping with soybean increase anthocyanin contents and yield of upland red rice under aerobic irrigation systems. In IOP Conference Series: Earth and Environmental Science, 637(1), p. 012087. <https://doi.org/10.1088/1755-1315/637/1/012087>
- Yadav, T., Kumar, A., Yadav, R.K., Yadav, G., Kumar, R. and Kushwaha, M., 2020. Salicylic acid and thiourea mitigate the salinity and drought stress on physiological traits governing yield in pearl millet-wheat. Saudi Journal of Biological Sciences, 27 (8), 2010-2017 <https://doi.org/10.1016/j.sjbs.2020.06.030>.
- Yaghoubi Khanghahi, M., Pirdashti, H., Rahimian, H., Nematzadeh, G. and Ghajar Sepanlou, M., 2019. The role of potassium solubilizing bacteria (KSB) inoculations on grain yield, dry matter remobilization and translocation in rice (*Oryza sativa* L.). Journal of Plant Nutrition, 42, 1165-1179. <https://doi.org/10.1080/01904167.2019.1609511>